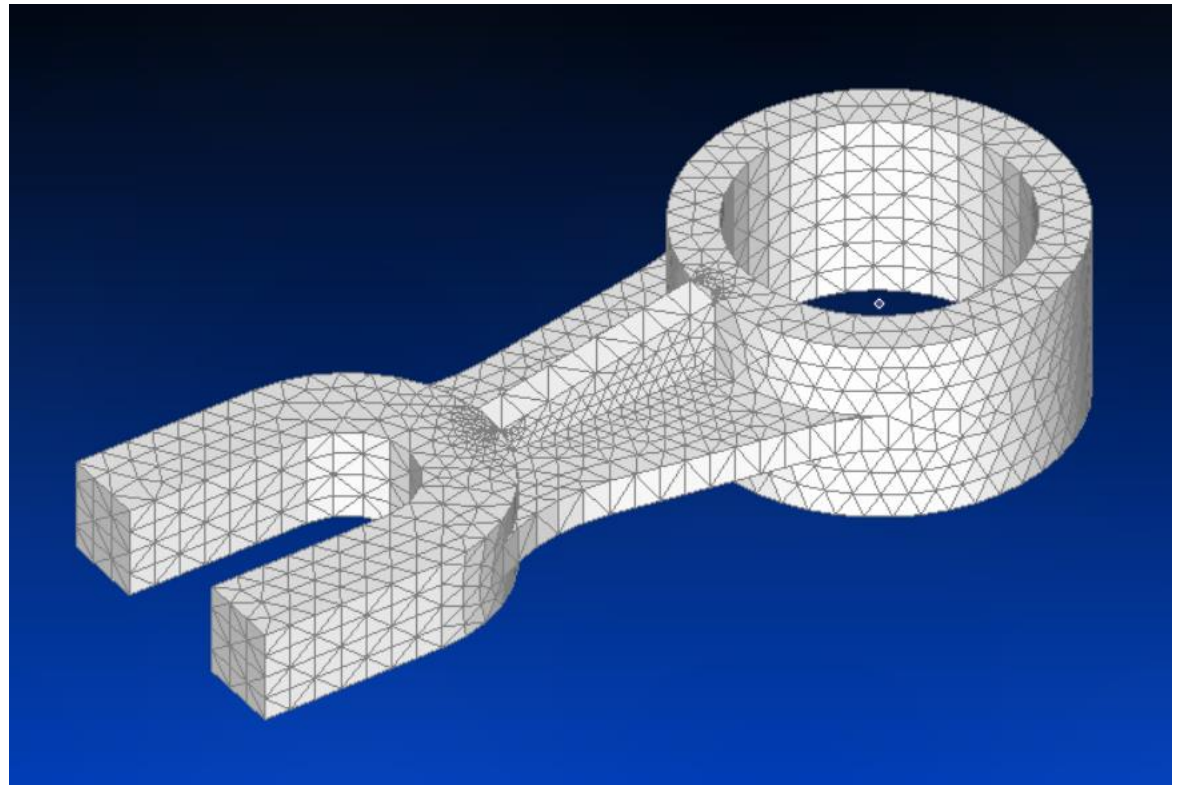
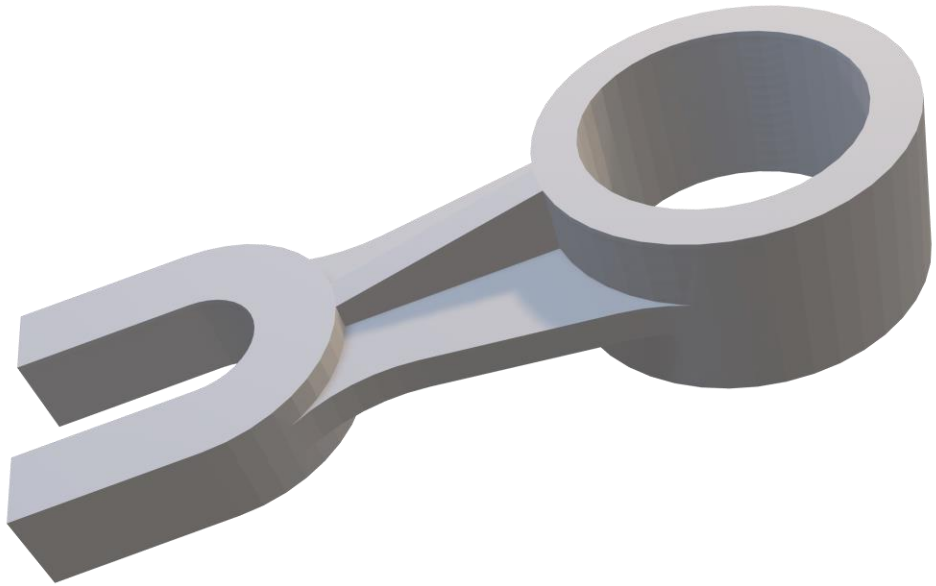


# Spacecraft Dynamics & Control

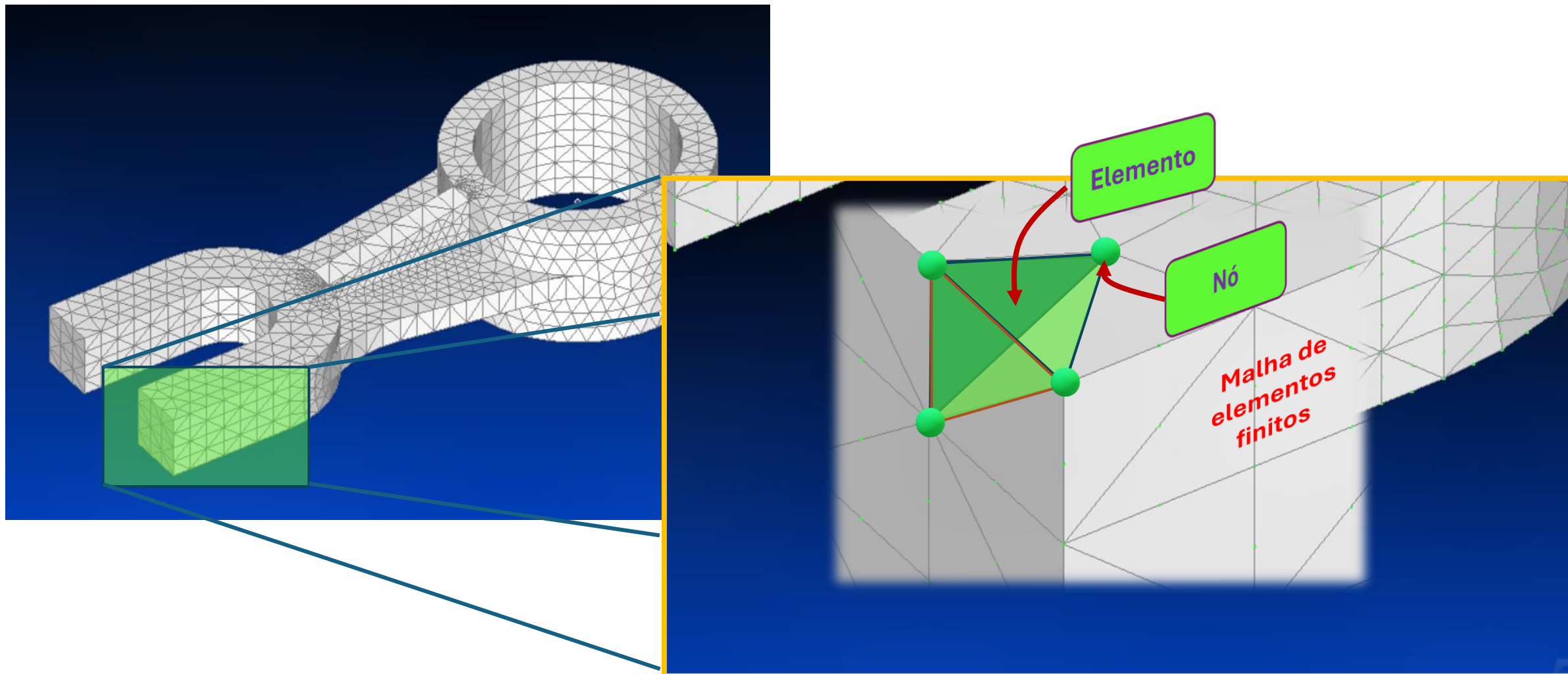
**Aula 4 – Métodos numéricos**  
**Método dos elementos finitos**

2024/2025  
Rui Moreira

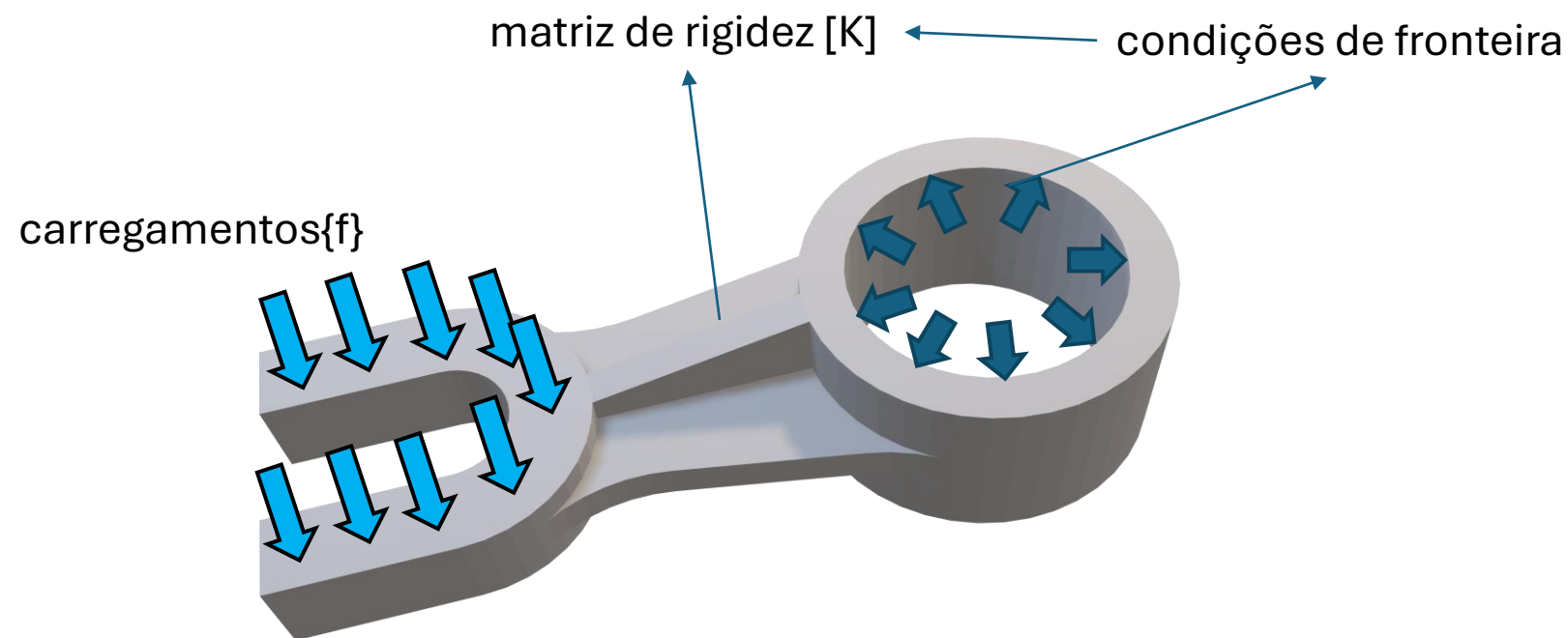
# Método dos elementos finitos - fundamentos



# Método dos elementos finitos – elemento, nó, malha



# Método dos elementos finitos – problema linear elástico



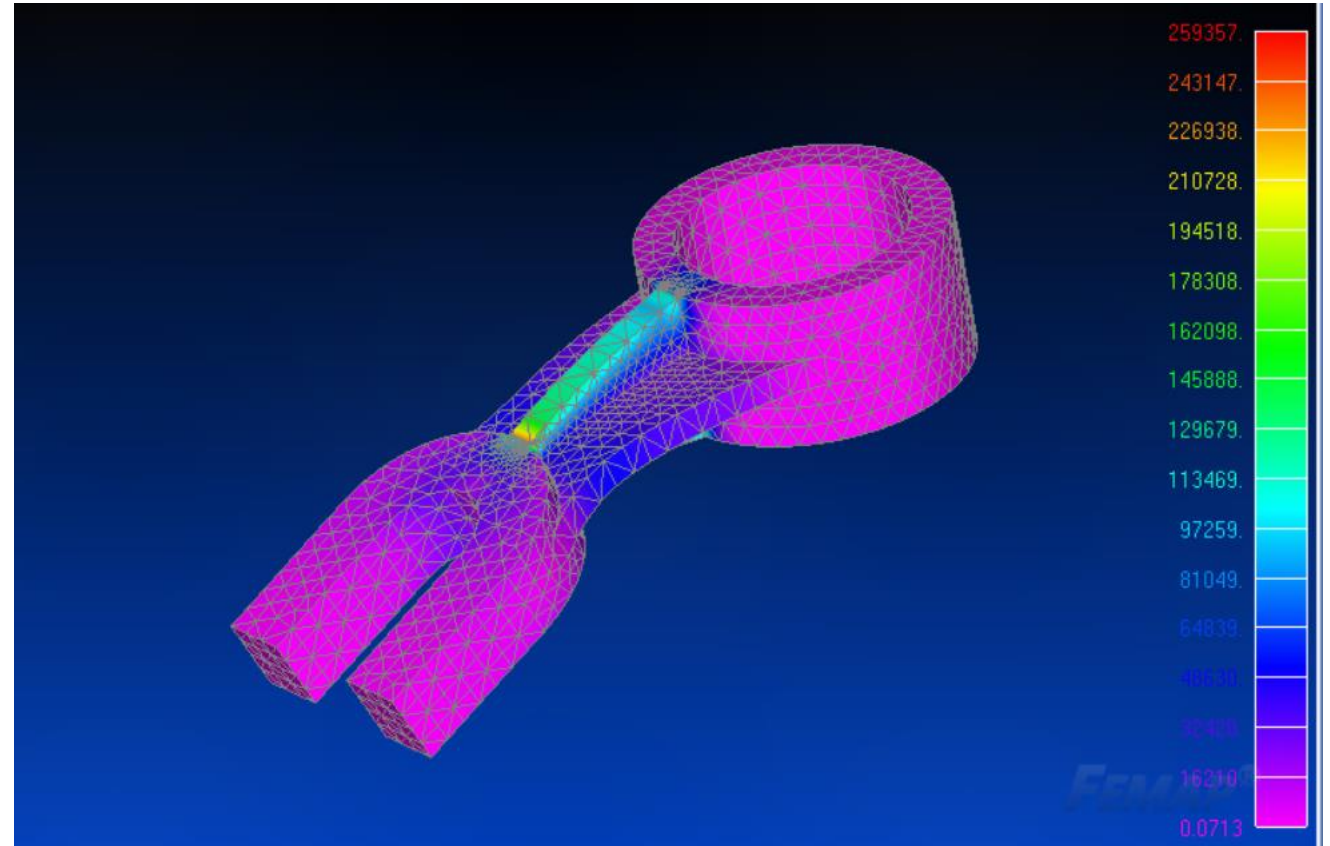
# Método dos elementos finitos – problema linear elástico

$$[K] \cdot \{d\} = \{f\}$$

$[K]$  : matriz de rigidez

$\{d\}$  : vetor de deslocamentos

$\{f\}$  : vetor de carregamentos



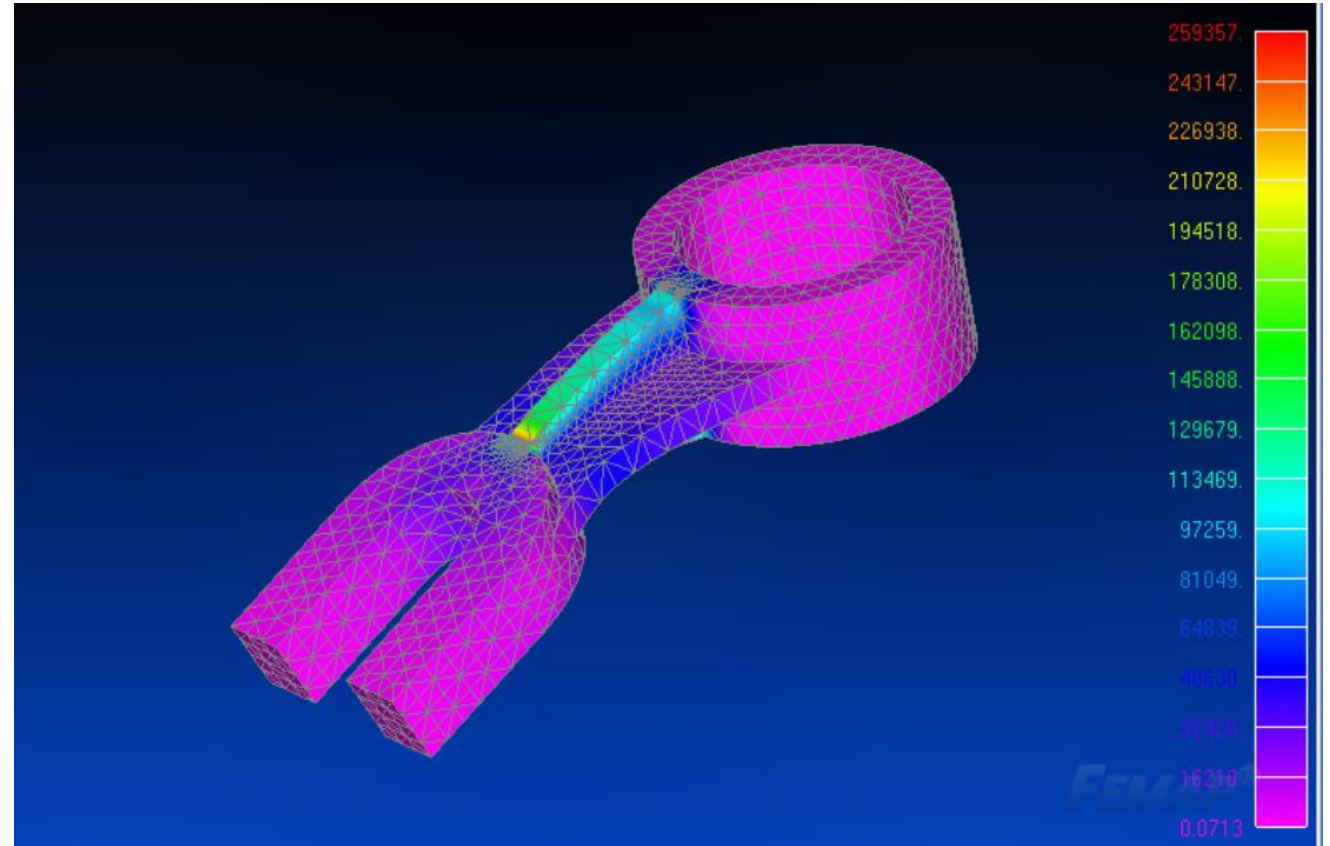
# Método dos elementos finitos – problema linear elástico

$$[K] \cdot \{x(t)\} = \{f(t)\}$$

$[K]$  : matriz de rigidez

$\{x(t)\}$  : vetor de deslocamentos

$\{f(t)\}$  : vetor de forças





# Método dos elementos finitos – problema dinâmico

$$[M].\{\ddot{x}(t)\} + [C].\{\dot{x}(t)\} + [K].\{x(t)\} = \{f(t)\}$$

$[M]$  : matriz de massa

$[C]$  : matriz de amortecimento

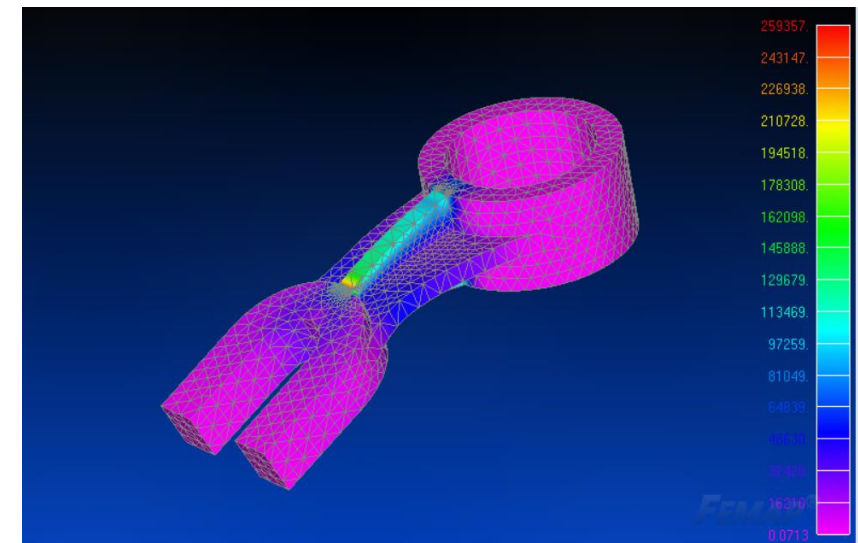
$[K]$  : matriz de rigidez

$\{\ddot{x}(t)\}$  : vetor de acelerações

$\{\dot{x}(t)\}$  : vetor de velocidades

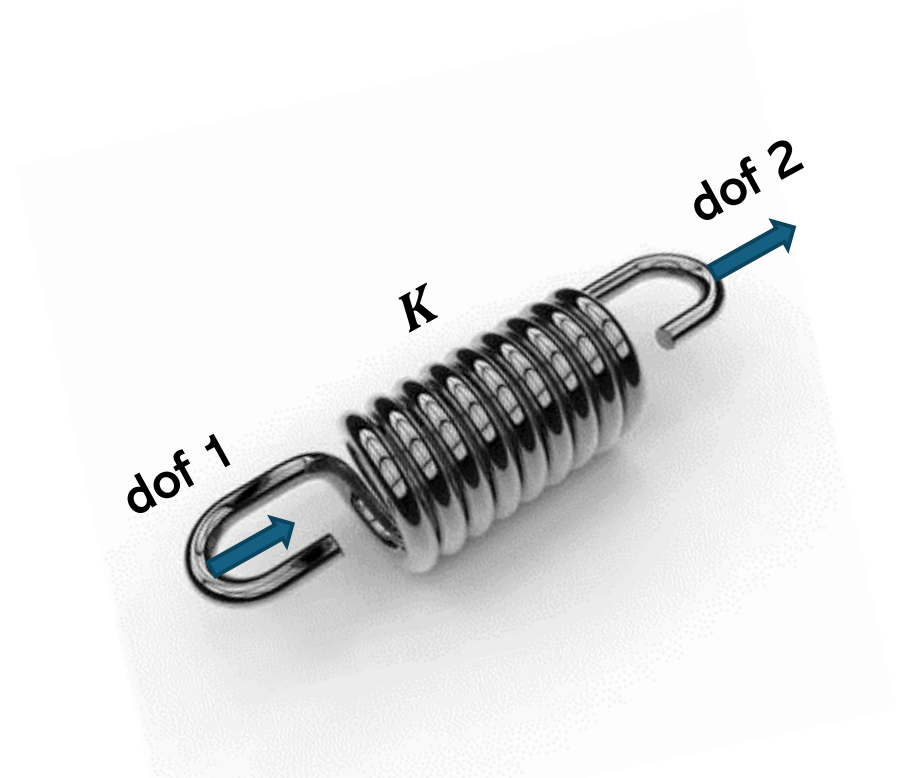
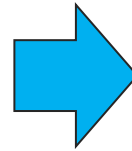
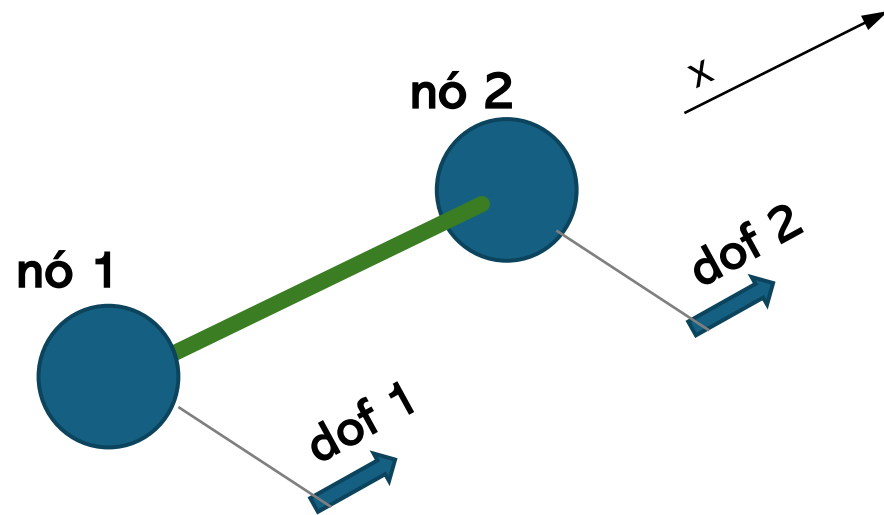
$\{x(t)\}$  : vetor de deslocamentos

$\{f(t)\}$  : vetor de forças



# Formulação de elemento: Barra (2dof)

Elemento de barra com 2 graus de liberdade (2dof)



$$K = \frac{E \cdot A}{L}$$

$E$ : módulo de *Young*

$A$ : área da secção da barra

$L$ : comprimento da barra

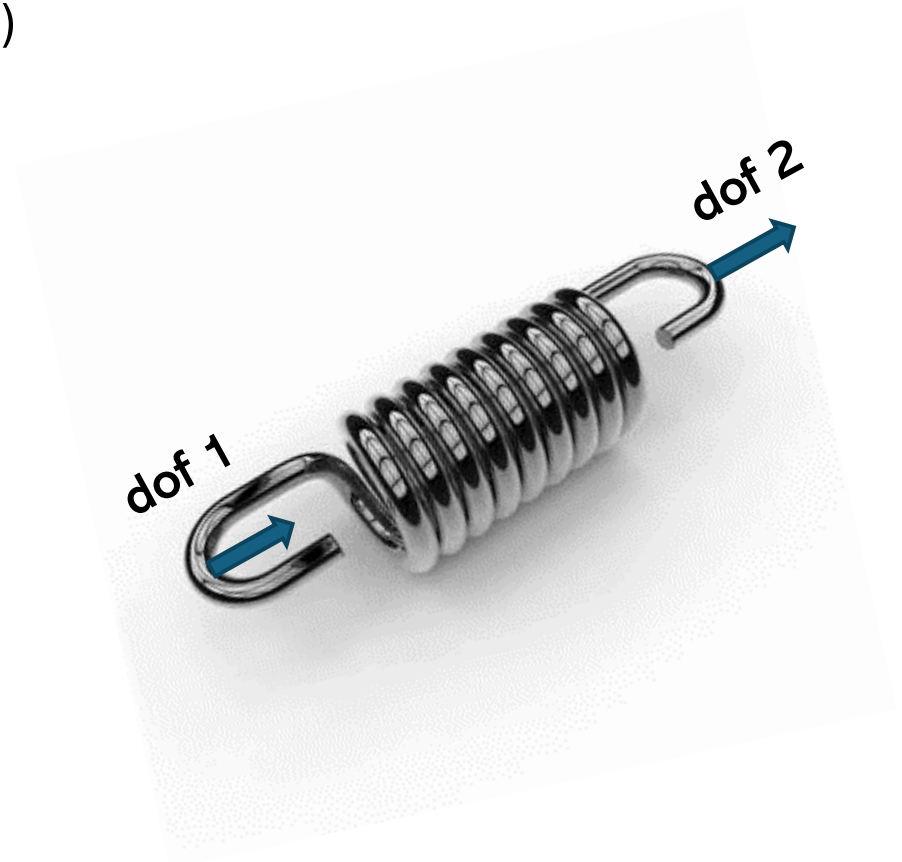


## Formulação de elemento: Barra (2dof)

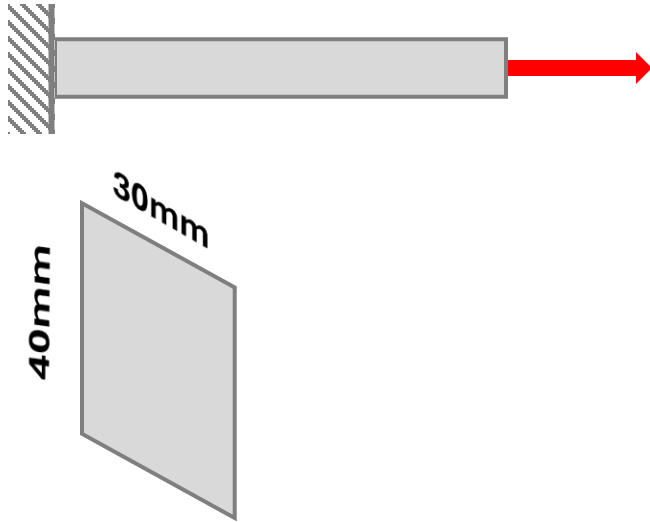
Elemento de barra com 2 graus de liberdade (2dof)

Matriz de rigidez do elemento de barra:  $K_{bar}$

$$K_{bar} = \begin{array}{cc} & \begin{array}{c} \text{dof 1} \\ \text{dof 2} \end{array} \\ \begin{array}{c} \text{dof 1} \\ \text{dof 2} \end{array} & \left[ \begin{array}{c|c} K & -K \\ \hline -K & K \end{array} \right] \end{array}$$



# Formulação de elemento: Barra (2dof)



```
%% exemplo elemento de barra Bar2dof
```

```
%% parametros de geometria e material
```

```
L=1; %Comprimento da barra
```

```
A=0.03*0.04; % Área da secção da barra
```

```
E=70e9; %Módulo de Young do material da barra
```

# Formulação de elemento: Barra (2dof)



```
%% exemplo elemento de barra Bar2dof
```

```
%% parametros de geometria e material
```

```
L=1; %Comprimento da barra
```

```
A=0.03*0.04; % Área da secção da barra
```

```
E=70e9; %Módulo de Young do material da barra
```



```
%% inicialização de variáveis
```

```
nelem=20; % número de elementos
```

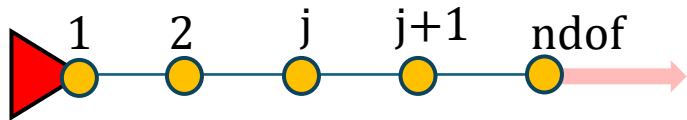
```
nnode=nelem+1; % número de nós;
```

```
ndof=nnode; número de graus de liberdade
```

```
Lel=L/nelem; %comprimento de cada elemento de barra
```

# Formulação de elemento: Barra (2dof)

## Condições de fronteira + Carregamentos

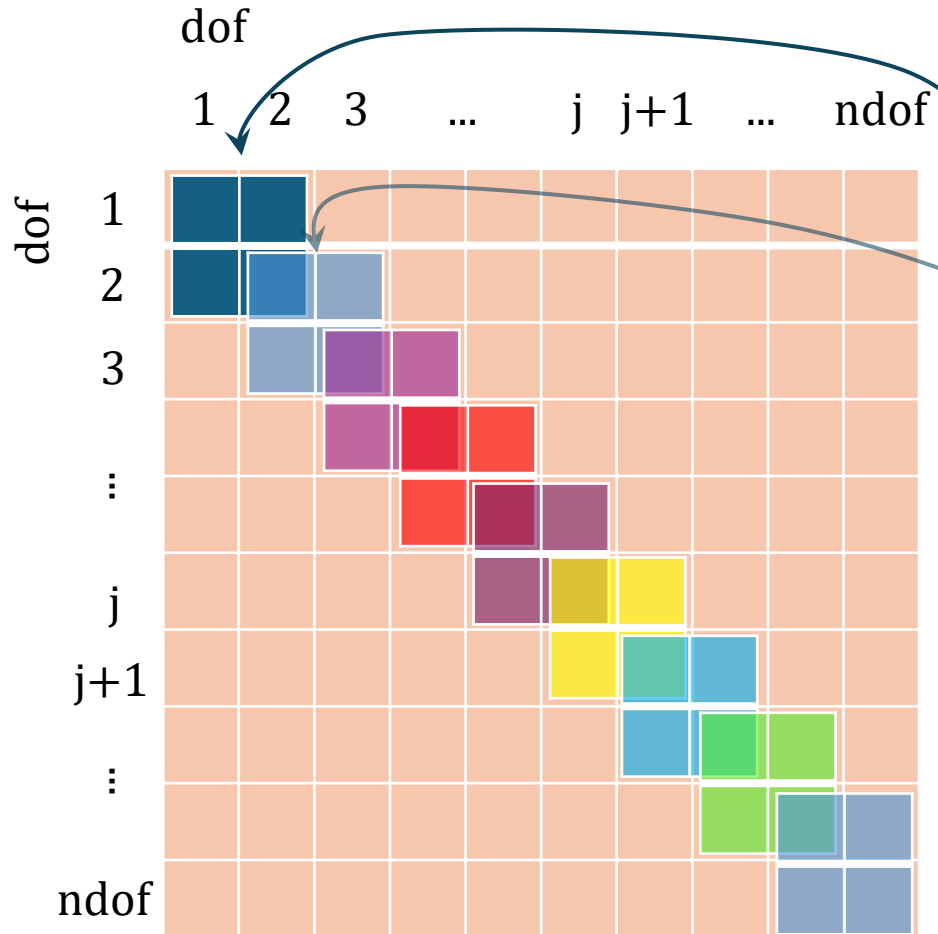


```
%% condições de fronteira e carregamentos  
F=zeros(ndof,1); %inicialização do vetor de  
carregamento
```

```
fixed_dofs= [1];  
free_dofs=setxor(1:nnode,fixed_dofs);
```

```
force_nodes=[ndof]; %Aplicação do  
carregamento no último nó/dof  
force_val=[1000]; %valor do carregamento  
F(force_nodes)=force_val;
```

## Matriz de rigidez



`%% matriz de rigidez do elemento de barra`

`Kel=A*E/Lel*[1 -1; -1 1];`

`%% geração da matriz de rigidez (montagem da matriz)`

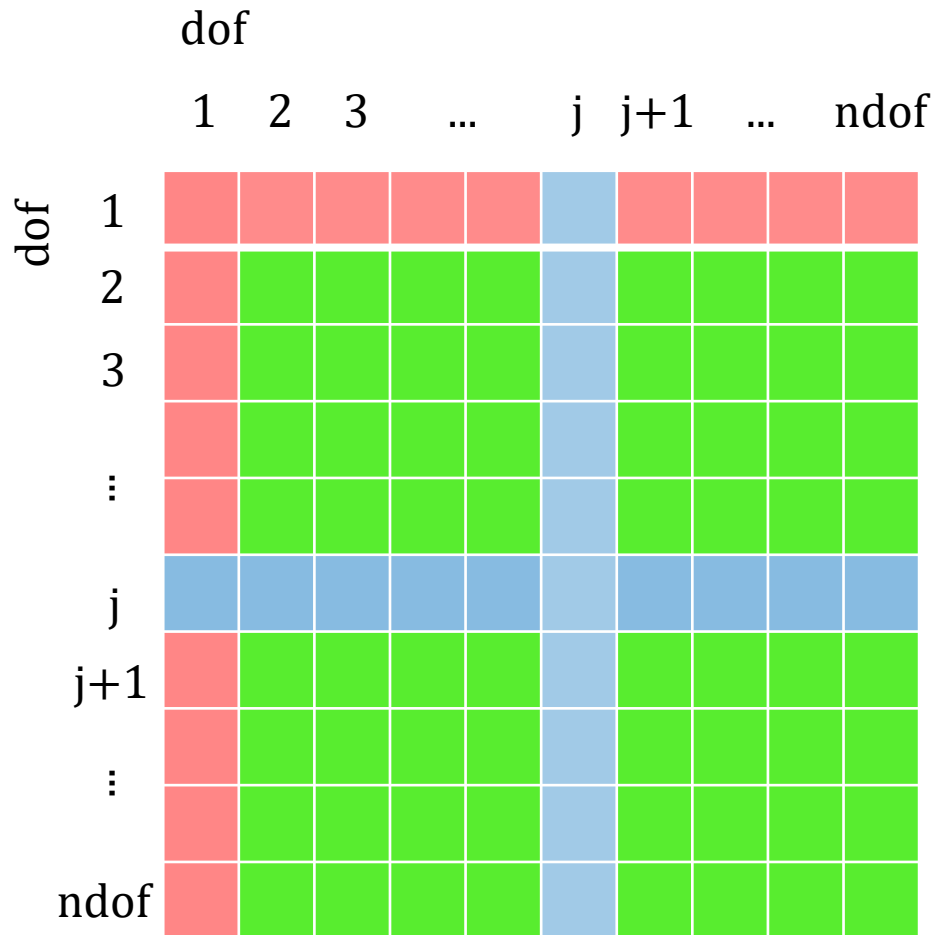
`K=zeros(ndof,ndof); %inicialização da matriz de rigidez`

`for ielem=1:nelem`  
`range=[ielem ielem+1];`  
`K(range,range)=K(range,range)+Kel;`

`end`



## Condições de fronteira e resolução do sistema de equações



```
%% aplicação das condições de fronteira
```

```
Kp=K(free_dofs, free_dofs);
```

```
Fp=F(free_dofs,1);
```

```
%% Resolução do sistema de equações
```

```
U=zeros(ndof,1); %inicialização do vetor de  
resultados de deslocamentos
```

```
Up= Kp\Fp;
```

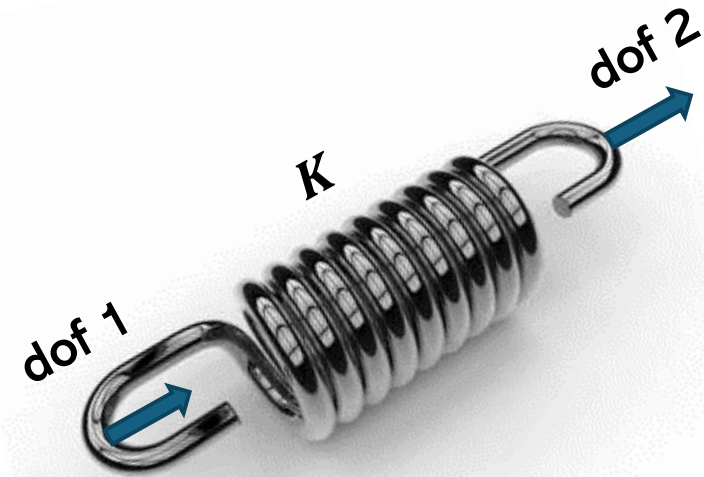
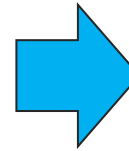
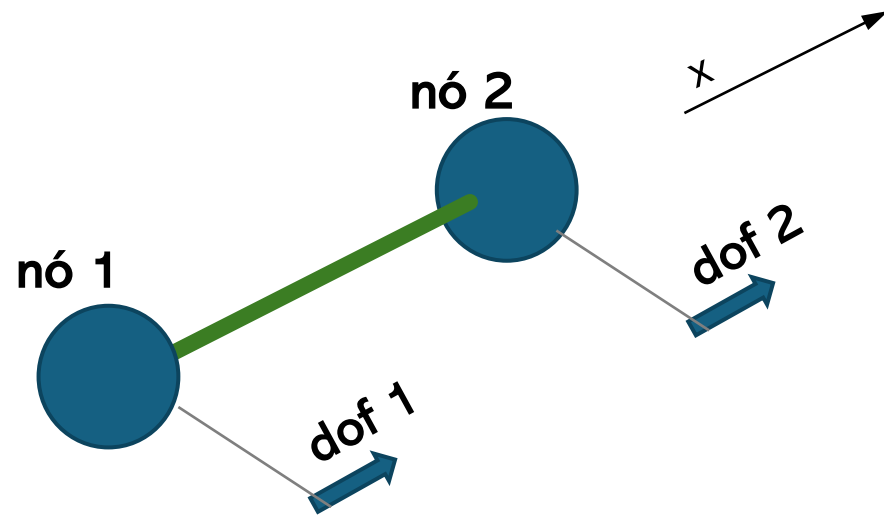
```
U(free_dofs)=Up;
```

$$[K_P] \times \{U_P\} = \{F_P\}$$



# Formulação de elemento: Barra (2dof) com matriz de massa

Elemento de barra com 2 graus de liberdade (2dof)



$$K = \frac{E \cdot A}{L}$$

$$M = \rho \cdot A \cdot L$$

$E$ : módulo de Young  
 $A$ : área da secção da barra  
 $L$ : comprimento da barra

$\rho$ : massa volúmica

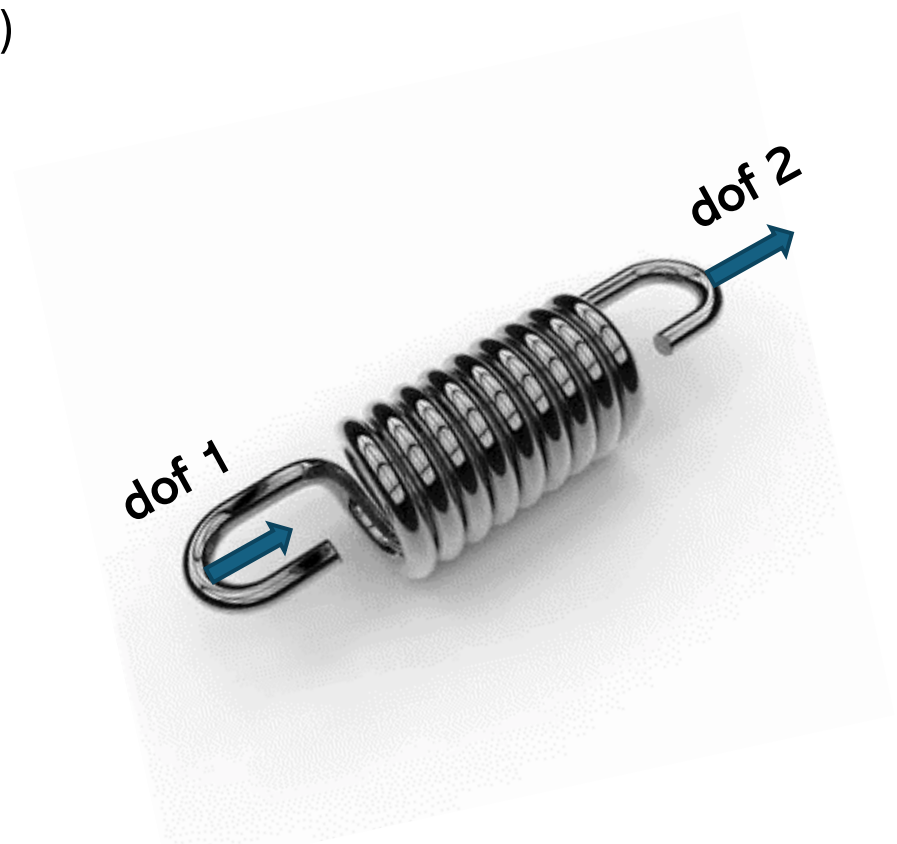
# Formulação de elemento: Barra (2dof) com matriz de massa

Elemento de barra com 2 graus de liberdade (2dof)

Matriz de rigidez do elemento de barra:  $K_{bar}$

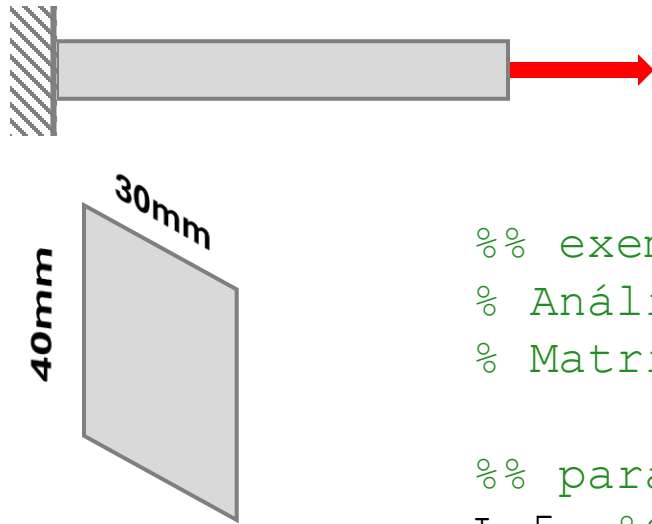
$$K_{bar} = \begin{array}{cc} \begin{array}{c} \text{dof 1} \\ \text{dof 2} \end{array} & \begin{array}{c} \text{dof 1} \\ \text{dof 2} \end{array} \\ \begin{bmatrix} K & -K \\ -K & K \end{bmatrix} & \begin{array}{c} \text{dof 1} \\ \text{dof 2} \end{array} \end{array}$$

$$M_{bar} = \begin{array}{cc} \begin{array}{c} \text{dof 1} \\ \text{dof 2} \end{array} & \begin{array}{c} \text{dof 1} \\ \text{dof 2} \end{array} \\ \begin{bmatrix} M/2 & 0 \\ 0 & M/2 \end{bmatrix} & \begin{array}{c} \text{dof 1} \\ \text{dof 2} \end{array} \end{array}$$



Matriz de massa diagonal (concentrada)

# Formulação de elemento: Barra (2dof) com matriz de massa



```
%% exemplo elemento de barra Bar2dof  
% Análise modal real  
% Matriz de massa
```

```
%% parametros de geometria e material
```

```
L=5; %Comprimento da barra
```

```
A=0.02*0.02; % Área da secção da barra
```

```
E=210e9; %Módulo de Young do material da barra
```

```
rho=7800; %Massa volúmica do material da barra %%%% <-----
```

# Formulação de elemento: Barra (2dof) com matriz de massa



```
%% exemplo elemento de barra Bar2dof
```

```
%% parametros de geometria e material
```

```
L=1; %Comprimento da barra
```

```
A=0.03*0.04; % Área da secção da barra
```

```
E=70e9; %Módulo de Young do material da barra
```



```
%% inicialização de variáveis
```

```
nelem=20; % número de elementos
```

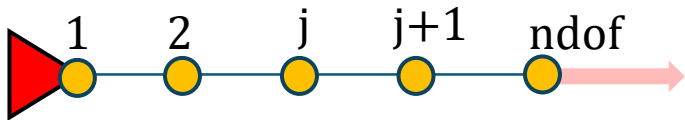
```
nnode=nelem+1; % número de nós;
```

```
ndof=nnode; número de graus de liberdade
```

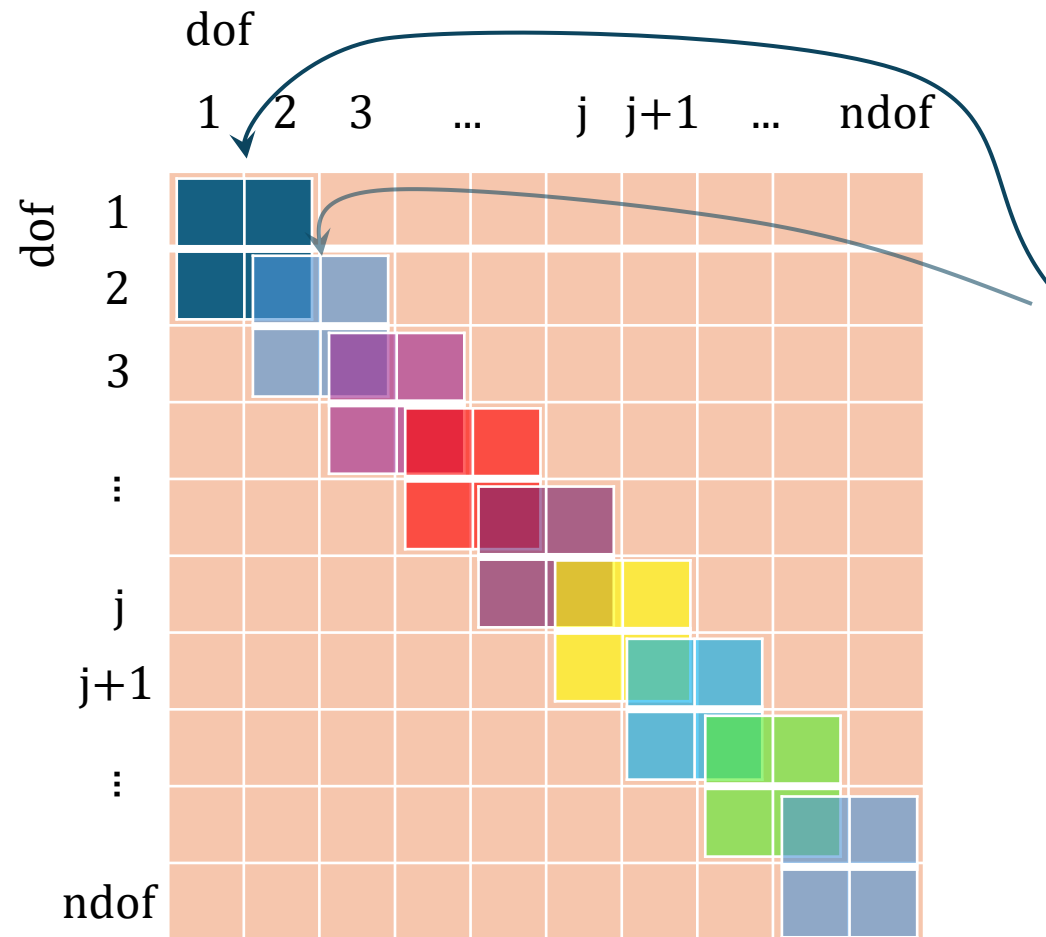
```
Lel=L/nelem; %comprimento de cada elemento de barra
```

# Formulação de elemento: Barra (2dof) com matriz de massa

Condições de fronteira



```
%% condições de fronteira  
fixed_dofs= [];  
free_dofs=setxor(1:nnode,fixed_dofs);
```



## Matriz de massa

```
%% matriz de massa do elemento de barra
```

```
Mel=rho*L*A*[0.5 0;0 0.5]
```

```
%-----
```

```
%% matriz de rigidez do elemento de barra
```

```
Kel=A*E/Le1*[1 -1; -1 1];
```

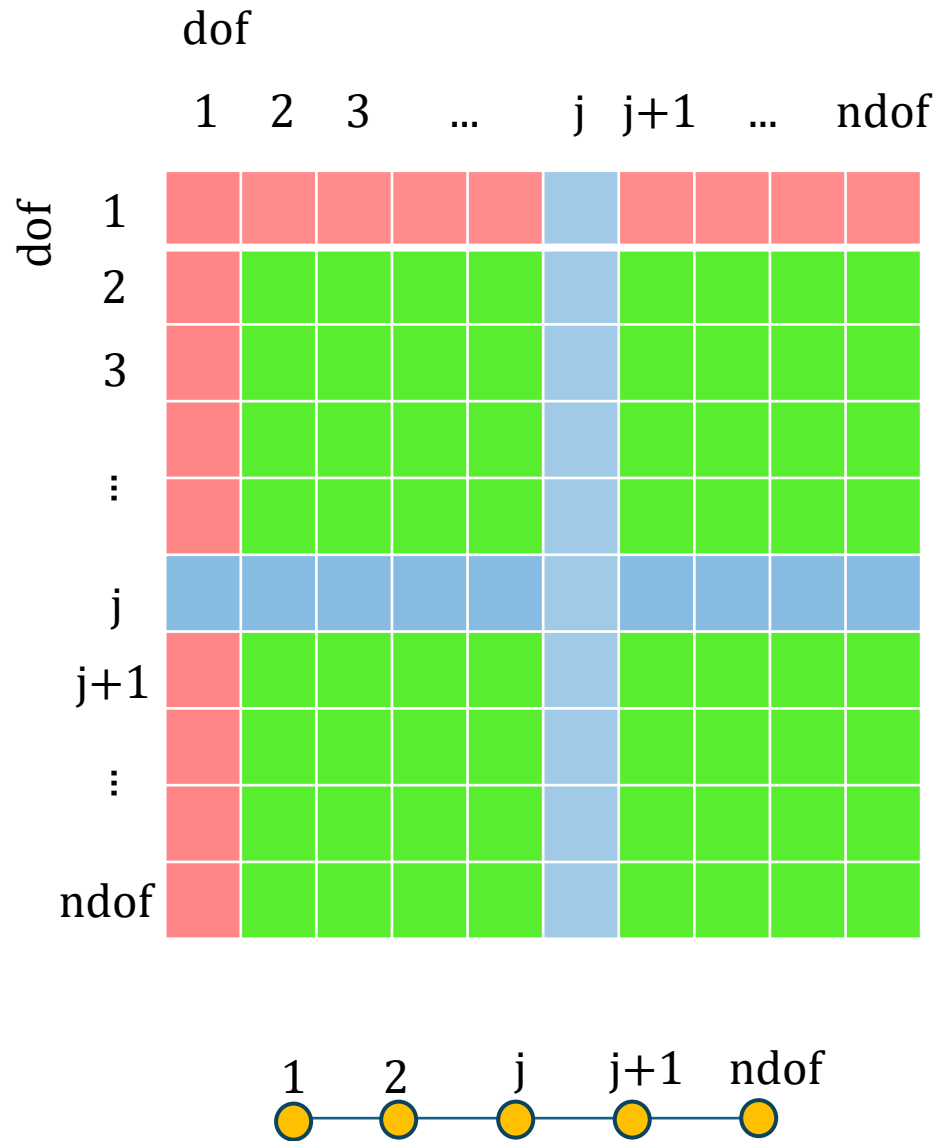
```
%% geração da matriz de massa e de rigidez  
(montagem da matriz)
```

```
M=zeros(ndof,ndof); %inicialização da  
matriz de massa
```

```
K=zeros(ndof,ndof); %inicialização da  
matriz de rigidez
```

```
for ielem=1:nelem  
    range=[ielem ielem+1];  
    M(range,range)=M(range,range)+Mel;  
    K(range,range)=K(range,range)+Kel;  
end
```





## Condições de fronteira e resolução do problema de valores e vetores próprios

```
%% aplicação das condições de fronteira
```

```
Mp=M(free_dofs, free_dofs);
```

```
Kp=K(free_dofs, free_dofs);
```

```
%% Resolução do problema de valores e  
vetores próprios
```

```
[a,b]=eig(Kp,Mp);
```

```
Wn=sqrt(diag(b));Fn=Wn/2/pi();
```

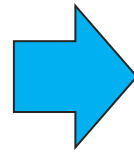
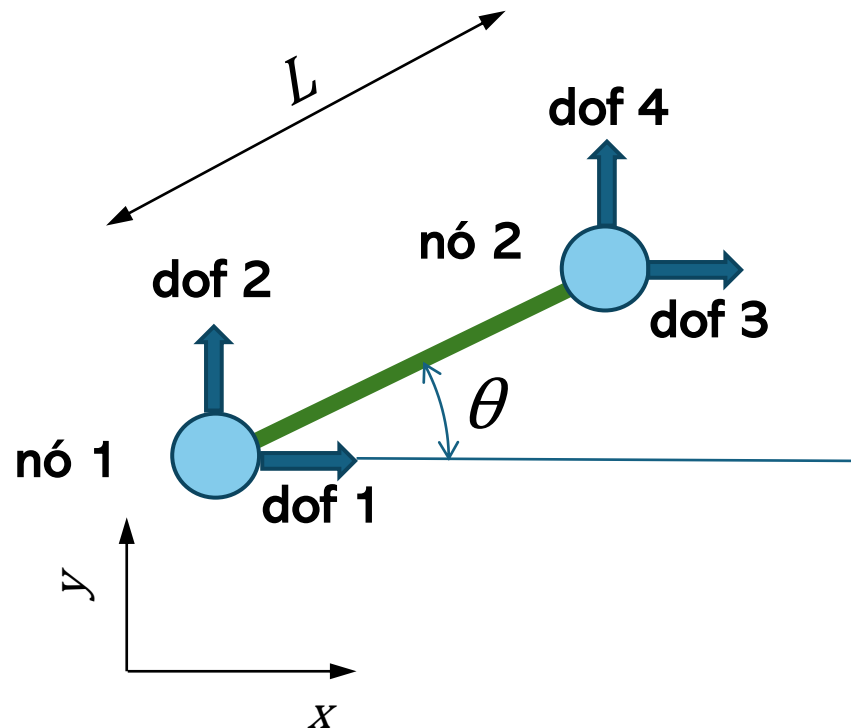
```
Phi=a;
```

$\{\omega_n\}$ : vetor de frequências naturais [rad/s]

$[\Phi]$ : matriz de vetores modais

# Formulação de elemento: Barra2D/Treliça (4dof)

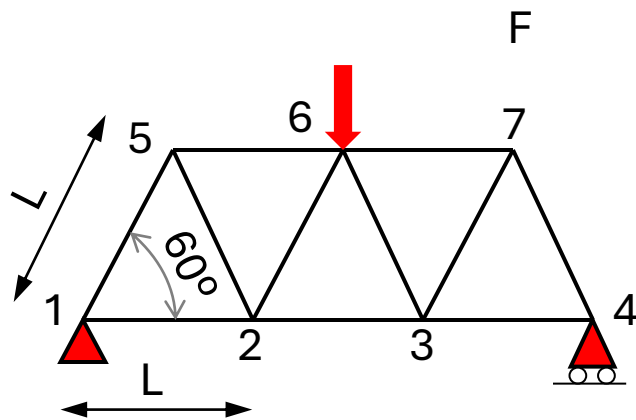
Elemento de barra com 4 graus de liberdade (4dof)



$$[K] = \frac{EA}{L} \begin{bmatrix} c^2 & cS & -c^2 & -cS \\ cS & s^2 & -cS & -s^2 \\ -c^2 & -cS & c^2 & cS \\ -cS & -s^2 & cS & s^2 \end{bmatrix}$$

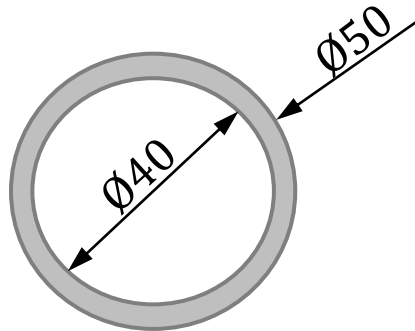
$$c = \cos(\theta)$$

$$s = \sin(\theta)$$



$L=1\text{m}$   
 $E=70\text{GPa}$

Secção da barra



## Parâmetros do modelo

```
%% treliça 2D
% 5 ----- 6 ----- 7
%  / \      / \      / \
% /   \    /   \    /   \
% /-----\ /-----\ /-----\
%1         2         3         4
```

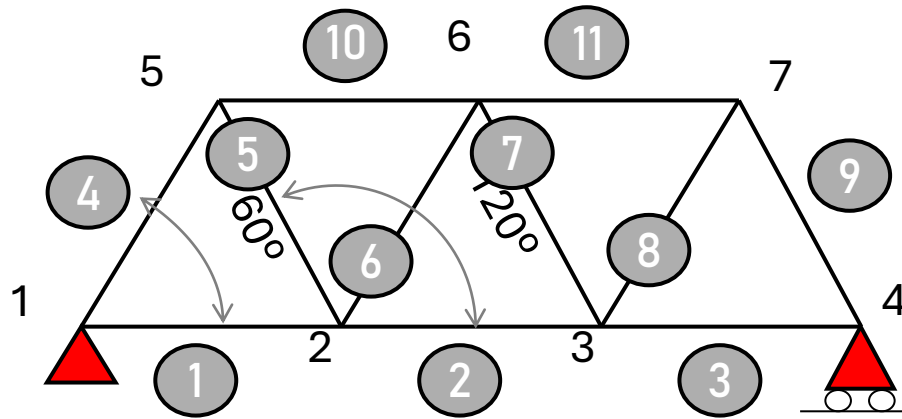
```
%% Parâmetros do modelo de FEM
nelem=11; %número de elementos (barras) que constitui a
treliça
nnode=7; %número de nós
ndof=nnode*2; %considerando 2 graus de liberdade por nó
```

```
%% Parâmetros materiais e geométricos
E=70e9; %Pa (alumínio)
Es=E*ones(nelem,1); %vetor de módulo de young das barras
```

```
A=(0.05^2-0.04^2)*pi; %área da secção das barras
As=A*ones(nelem,1); %vetor de áreas
```

```
L=1; % comprimento de cada barra (1 metro)
Ls=L*ones(nelem,1);
```

## Parâmetros geométricos e ligações nodais

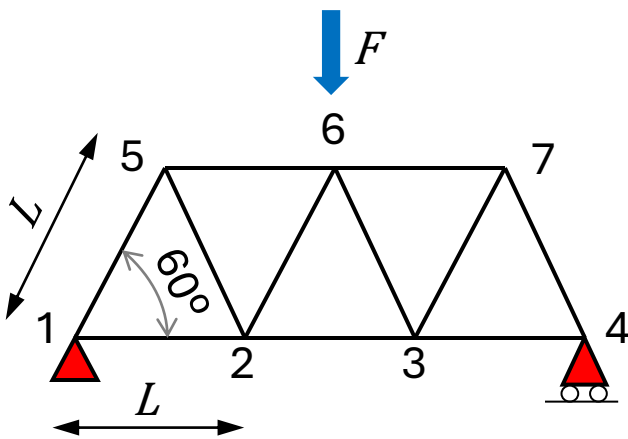


```
theta=[0 0 0 pi/3 2*pi/3 pi/3 2*pi/3 pi/3 2*pi/3 0 0]; %orientação de cada barra
```

```
%localizações dos nós
```

```
xyU=[0 0;L 0; 2*L 0; 3*L 0; L*cos(pi/3) L*sin(pi/3); L*cos(pi/3)+L L*sin(pi/3);  
L*cos(pi/3)+2*L L*sin(pi/3)];
```

```
lnodal={[1 2],[2 3],[3 4],[1 5],[2 5],[2 6],[3 6],[3 7],[4 7], [5 6], [6 7]}; %pares de  
nós que definem cada elemento (barra)
```



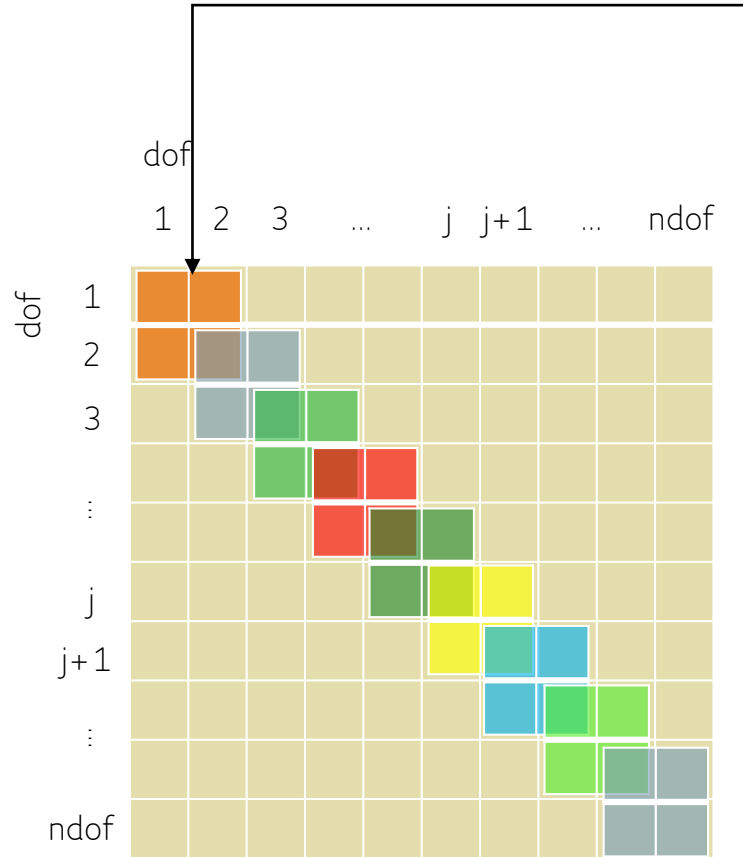
## Condições de fronteira e carregamentos

{dof}=

dof1	1_x	dof7	4_x
dof2	1_y	dof8	4_y
dof3	2_x	dof9	5_x
dof4	2_y	dof10	5_y
dof5	3_x	dof11	6_x
dof6	3_y	dof12	6_y
		dof13	7_x
		dof14	7_y

```
%% Condições de fronteira
% graus de liberdade restritos: nó1 direção
X, nó1 direção y, nó3 direção y
Rdof=[1,2,8];
```

```
% carregamento vertical de 1000N no nó 6
(corresponde ao dof 12)
Fdof=[12]; %vetor de dofs carregados
VF=[-1000]; %Vetor de cargas
```



```
%% Cálculo da Matriz de rigidez
```

```
K=zeros(ndof,ndof); %inicialização da matriz de rigidez global
```

```
for ielem=1:nelem
```

```
% matriz de rigidez do elemento de barra (2dof por nó=4dof por elemento)
```

```
Kbar= As(ielem)*Es(ielem)/Ls(ielem);
```

```
%matriz de transformação referencial barra para referencial global
```

```
c=cos(theta(ielem));s=sin(theta(ielem));c2=c^2;s2=s^2;cs=c*s;
```

```
T=[c2 cs -c2 -cs;cs s2 -cs -s2;-c2 -cs c2 cs;-cs -s2 cs s2];
```

```
Kelem=Kbar*T;
```

```
%montagem da matriz de rigidez do elemento na matriz global
```

```
no1=2*lnodal{ielem}(1)-1; %1º dof do 1º nó do elemento ielem
```

```
no2=2*lnodal{ielem}(2)-1; %1º dof do 2º nó do elemento ielem
```

```
K(no1:no1+1,no1:no1+1)=K(no1:no1+1,no1:no1+1)+Kelem(1:2,1:2);
```

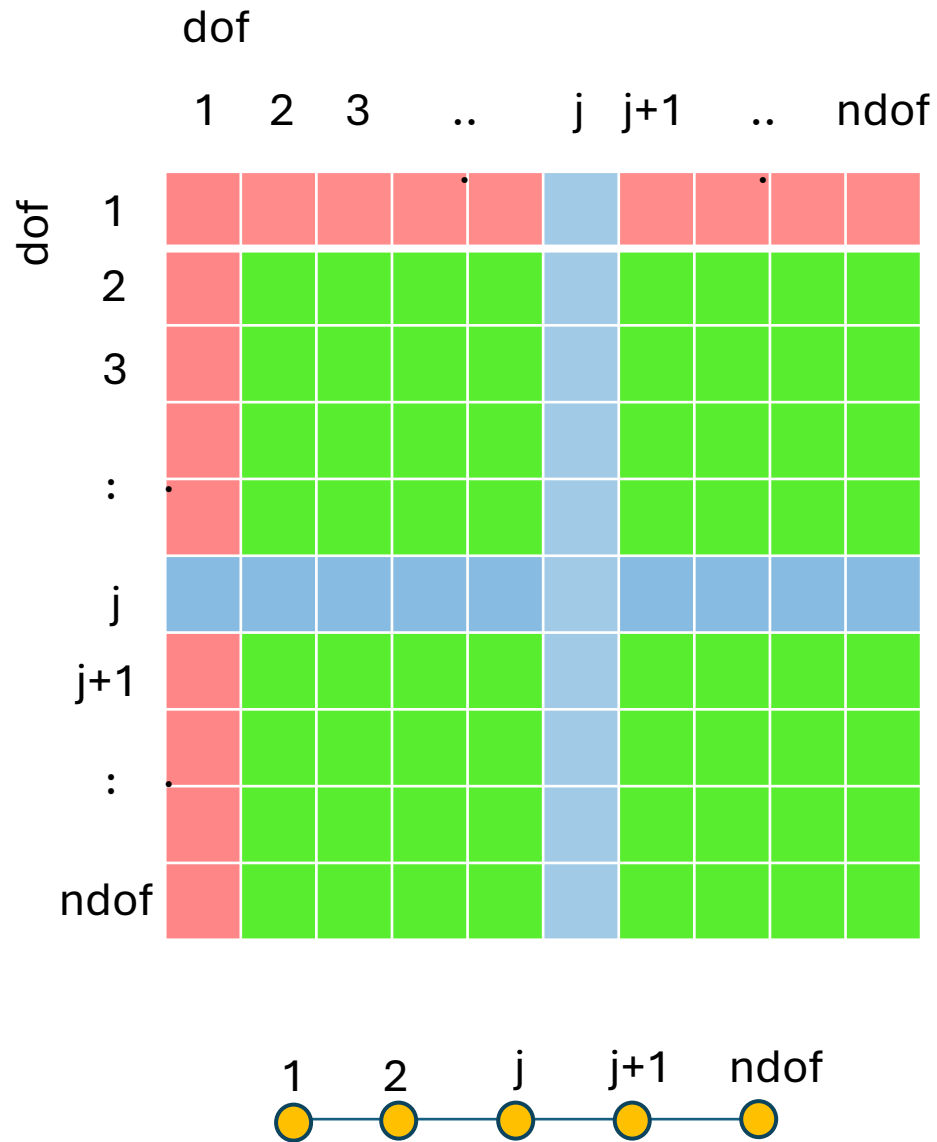
```
K(no1:no1+1,no2:no2+1)=K(no1:no1+1,no2:no2+1)+Kelem(1:2,3:4);
```

```
K(no2:no2+1,no1:no1+1)=K(no2:no2+1,no1:no1+1)+Kelem(3:4,1:2);
```

```
K(no2:no2+1,no2:no2+1)=K(no2:no2+1,no2:no2+1)+Kelem(3:4,3:4);
```

```
end
```





## Aplicação das condições de fronteira e resolução do sistema de equações

%Determinação do vetor de carregamento

```
F=zeros(ndof,1);
```

```
F(Fdof)=VF;
```

%Aplicação das condições de fronteira

```
free_dofs=setxor(1:ndof,Rdof); %graus de liberdade não restritos
```

```
Kp=K(free_dofs,free_dofs);
```

```
Fp=F(free_dofs,1);
```

% Resolução do sistema de equações

```
Up=Kp\Fp;
```

## Resultados

```
U=zeros(ndof,1);
U(free_dofs)=Up;

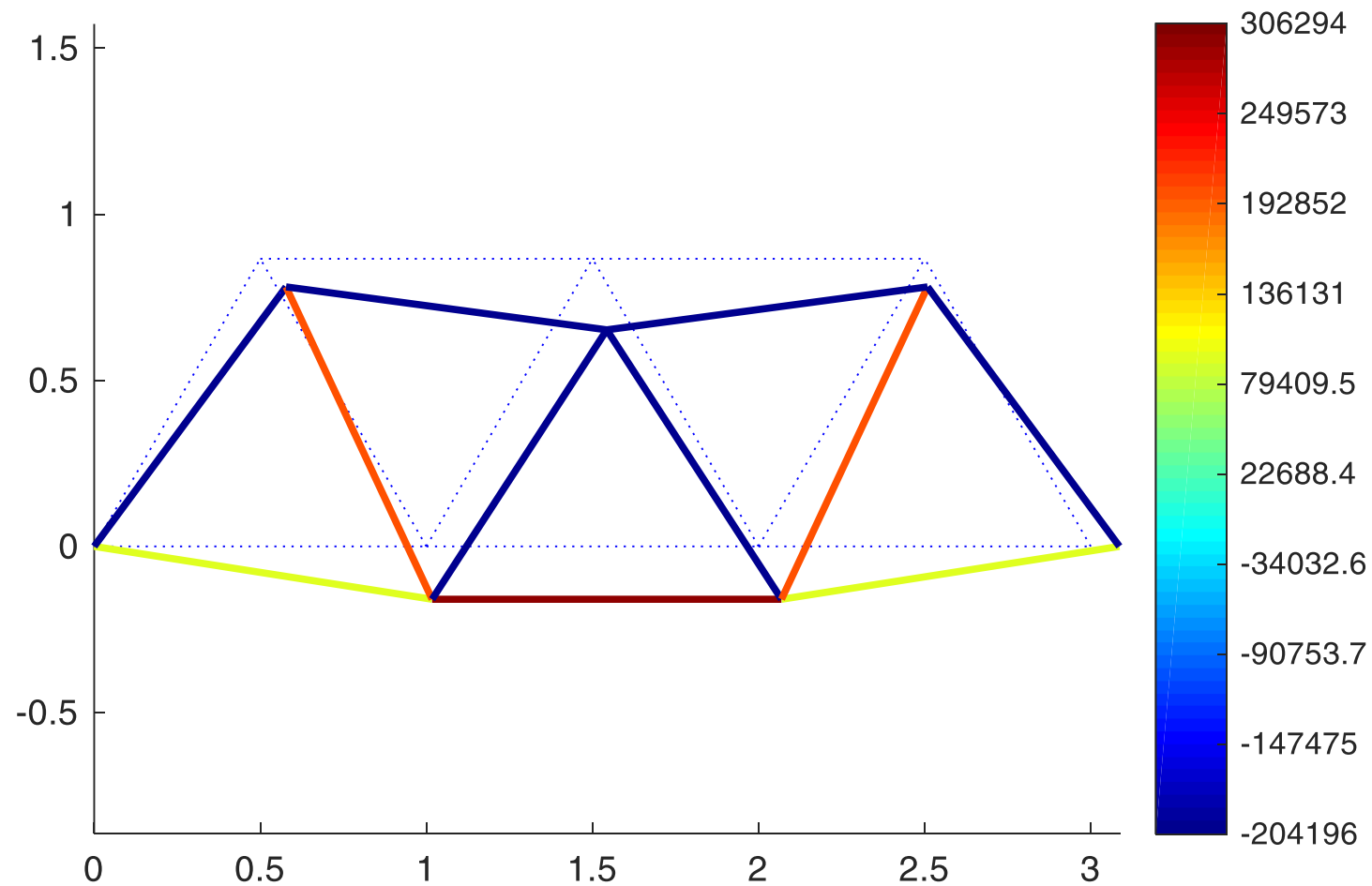
fvector=K*U;

stress=zeros(nelem,1);
for ielem=1:nelem
    no1=lnodal{ielem}(1); %1º nó do elemento ielem
    no2=lnodal{ielem}(2); %2º nó do elemento ielem
    dof1=2*lnodal{ielem}(1)-1; %1º dof do nó 1 do elem. ielem
    dof2=2*lnodal{ielem}(2)-1; %1º dof do nó 2 do elem. ielem
    T=[cos(theta(ielem)) sin(theta(ielem)) 0 0; 0 0
        cos(theta(ielem)) sin(theta(ielem))];
    stress(ielem,1)=Es(ielem)/Ls(ielem)*[-
1,1]*T*[U(dof1:dof1+1);U(dof2:dof2+1)];
end
```

$$\{f\} = \frac{E \cdot A}{L} \begin{bmatrix} -c & -s & c & s \end{bmatrix} \{u\}$$

$$\{\sigma\} = \frac{E}{L} \begin{bmatrix} -c & -s & c & s \end{bmatrix} \{u\}$$

Pós-processamento  
de resultados



## **Formulação de elemento: Barra2D/Treliça (4dof) com matriz de massa**

```
% Parâmetros do modelo de FEM
clear; clc; close all;
nelem=11; %número de elementos (barras) que constitui a treliça
nnode=7; %número de nós
ndof=nnode*2; %considerando 2 graus de liberdade por nó

%% Parâmetros materiais e geométricos
E=70e9; %Pa (alumínio)
Es=E*ones(nelem,1); %vetor de módulo de young das barras

A=(0.05^2-0.04^2)*pi; %área da secção das barras (tubo de secção circular com
diâmetro exterior 50mm e interior 40mm
As=A*ones(nelem,1); %vetor de áreas para a totalidade de barras que constituem a
treliça

L=1; % comprimento de cada barra (1 metro)
Ls=L*ones(nelem,1);

rho=2700; % massa volúmica do material
rhos=rho*ones(nelem,1);
```

## **Formulação de elemento: Barra2D/Treliça (4dof) com matriz de massa**

```
theta=[0 0 0 pi/3 2*pi/3 pi/3 2*pi/3 pi/3 2*pi/3 0 0 0 pi/2]; %orientação de cada
barra localizações dos nós
xyU=[0 0;L 0; 2*L 0; 3*L 0; L*cos(pi/3) L*sin(pi/3); L*cos(pi/3)+L
L*sin(pi/3);L*cos(pi/3)+2*L L*sin(pi/3)];

lnodal={[1 2],[2 3],[3 4],[1 5],[2 5],[2 6],[3 6],[3 7],[4 7], [5 6], [6 7]};
%pares de nós que definem cada elemento (barra)

%% Condições de fronteira
% graus de liberdade restritos: nó1 direção X, nó1 direção y, nó4 direção y
Rdof=[1,2,8];

%% Cálculo da Matriz de rigidez

M=zeros(ndof,ndof); %inicialização da matriz de rigidez global

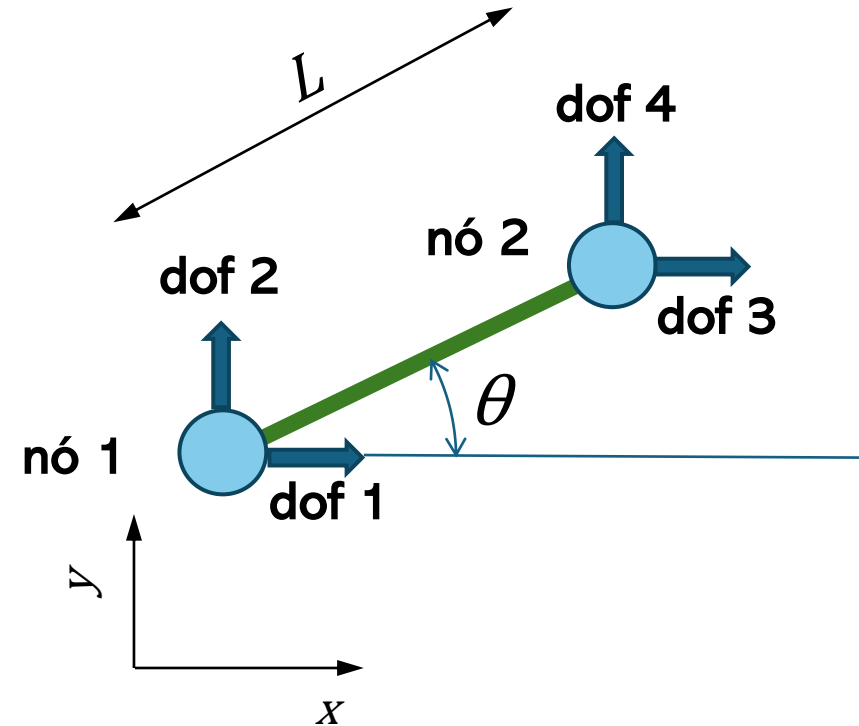
K=zeros(ndof,ndof); %inicialização da matriz de rigidez global
```

## Formulação de elemento: Barra2D/Treliça (4dof) com matriz de massa

```
for ielem=1:nelem
```

```
% matriz de massa do elemento de barra  
Mbar= As(ielem)*Ls(ielem)*rhos(ielem);  
Melem=Mbar*0.5*eye(ndof);
```

$$[M] = \frac{\rho AL}{2} \begin{bmatrix} 1 & 0 & 0 & 0 \\ 0 & 1 & 0 & 0 \\ 0 & 0 & 1 & 0 \\ 0 & 0 & 0 & 1 \end{bmatrix}$$



```
% matriz de rigidez do elemento de barra (2dof por nó=4dof por elemento)  
Kbar= As(ielem)*Es(ielem)/Ls(ielem);
```

```
%matriz de transformação referencial barra para referencial global  
c=cos(theta(ielem));s=sin(theta(ielem));c2=c^2;s2=s^2;cs=c*s;  
T=[c2 cs -c2 -cs;cs s2 -cs -s2;-c2 -cs c2 cs;-cs -s2 cs s2];  
Kelem=Kbar*T;
```

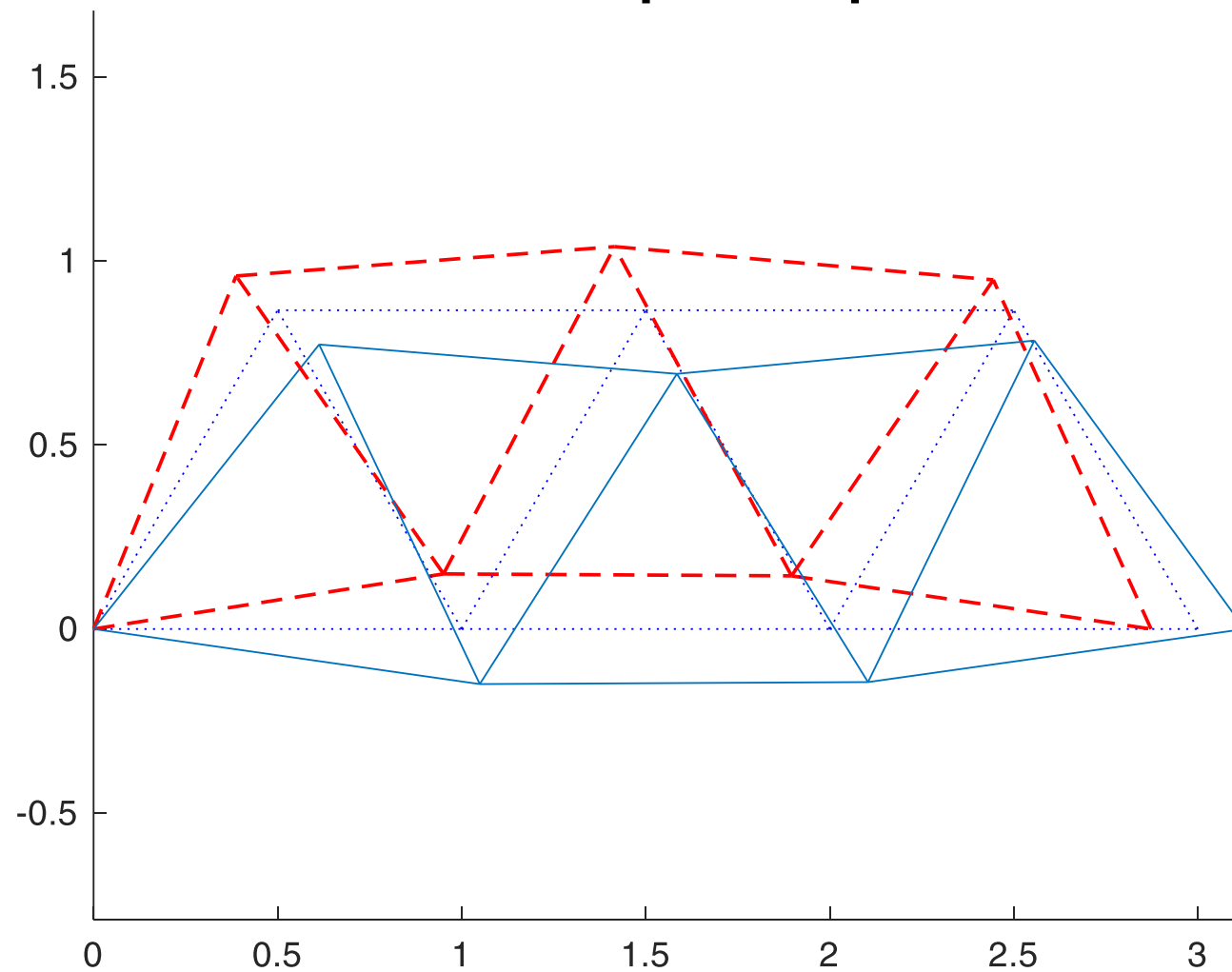


```
%montagem da matriz de massa e de rigidez do elemento nas matrizes globais  
no1=2*lnodal{ielem}(1)-1; %1º dof do 1º nó do elemento ielem  
no2=2*lnodal{ielem}(2)-1; %1º dof do 2º nó do elemento ielem
```

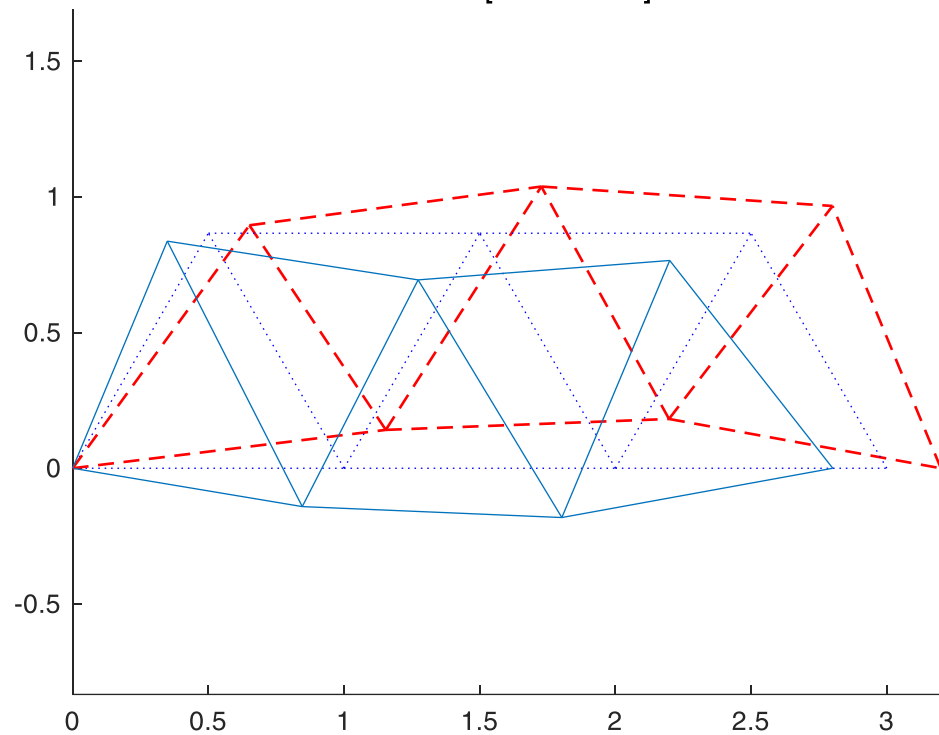
```
M(no1:no1+1,no1:no1+1)=M(no1:no1+1,no1:no1+1)+Melem(1:2,1:2);  
M(no1:no1+1,no2:no2+1)=M(no1:no1+1,no2:no2+1)+Melem(1:2,3:4);  
M(no2:no2+1,no1:no1+1)=M(no2:no2+1,no1:no1+1)+Melem(3:4,1:2);  
M(no2:no2+1,no2:no2+1)=M(no2:no2+1,no2:no2+1)+Melem(3:4,3:4);
```

```
K(no1:no1+1,no1:no1+1)=K(no1:no1+1,no1:no1+1)+Kelem(1:2,1:2);  
K(no1:no1+1,no2:no2+1)=K(no1:no1+1,no2:no2+1)+Kelem(1:2,3:4);  
K(no2:no2+1,no1:no1+1)=K(no2:no2+1,no1:no1+1)+Kelem(3:4,1:2);  
K(no2:no2+1,no2:no2+1)=K(no2:no2+1,no2:no2+1)+Kelem(3:4,3:4);  
end
```

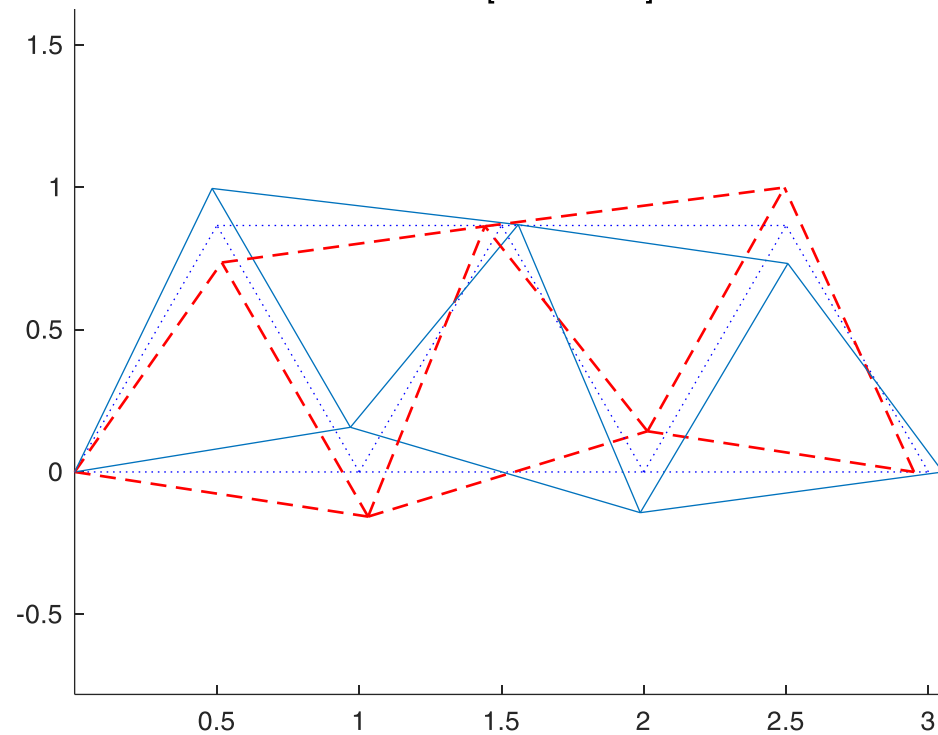
modo: 1 @ [ 169.0 Hz ]



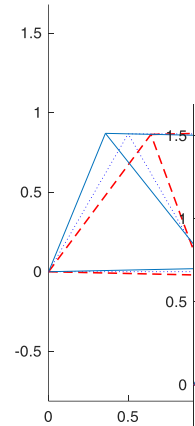
modo: 2 @ [ 257.0 Hz ]



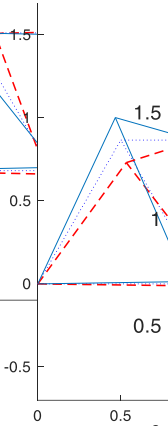
modo: 3 @ [ 464.0 Hz ]



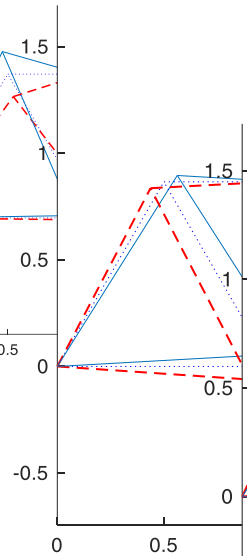
modo: 4 @ [ 599.0 Hz ]



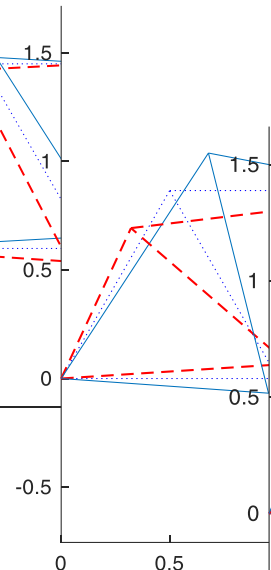
modo: 5 @ [ 687.0 Hz ]



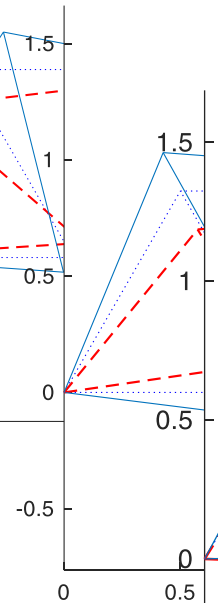
modo: 6 @ [ 772.0 Hz ]



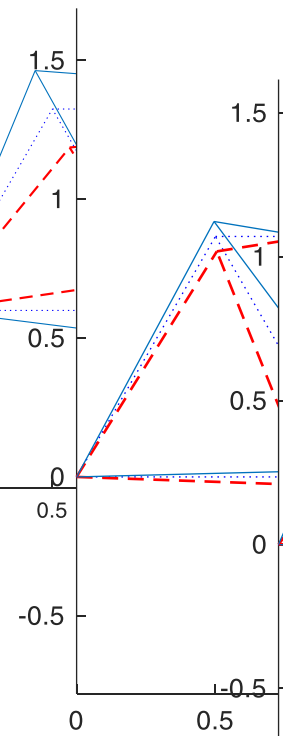
modo: 7 @ [ 858.0 Hz ]



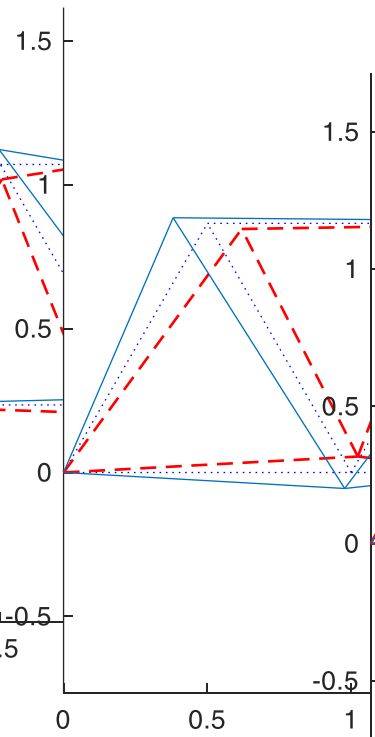
modo: 8 @ [ 1006.0 Hz ]



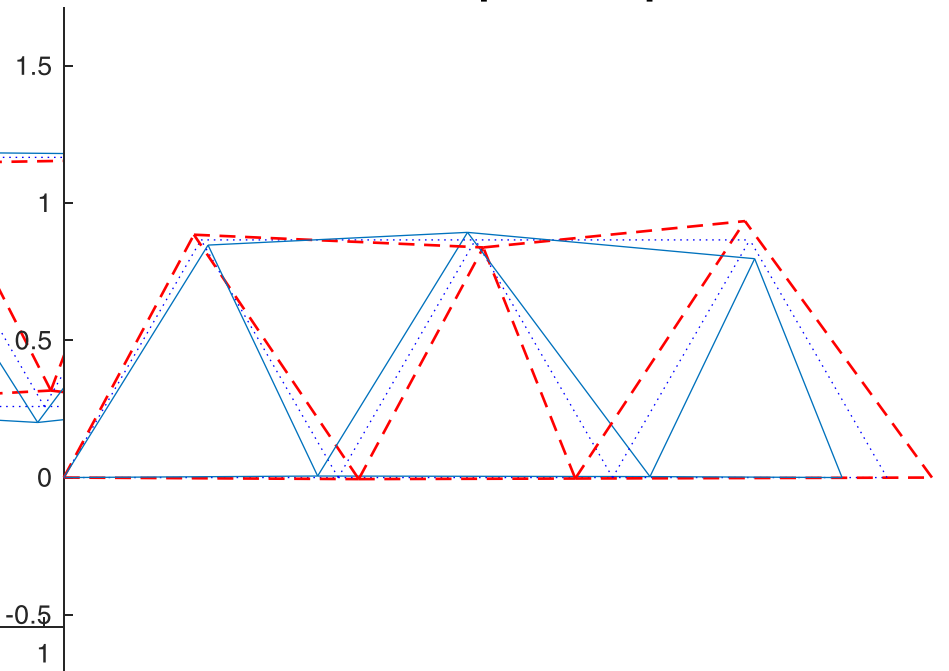
modo: 9 @ [ 1016.0 Hz ]



modo: 10 @ [ 1169.0 Hz ]

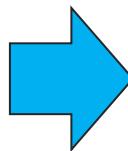
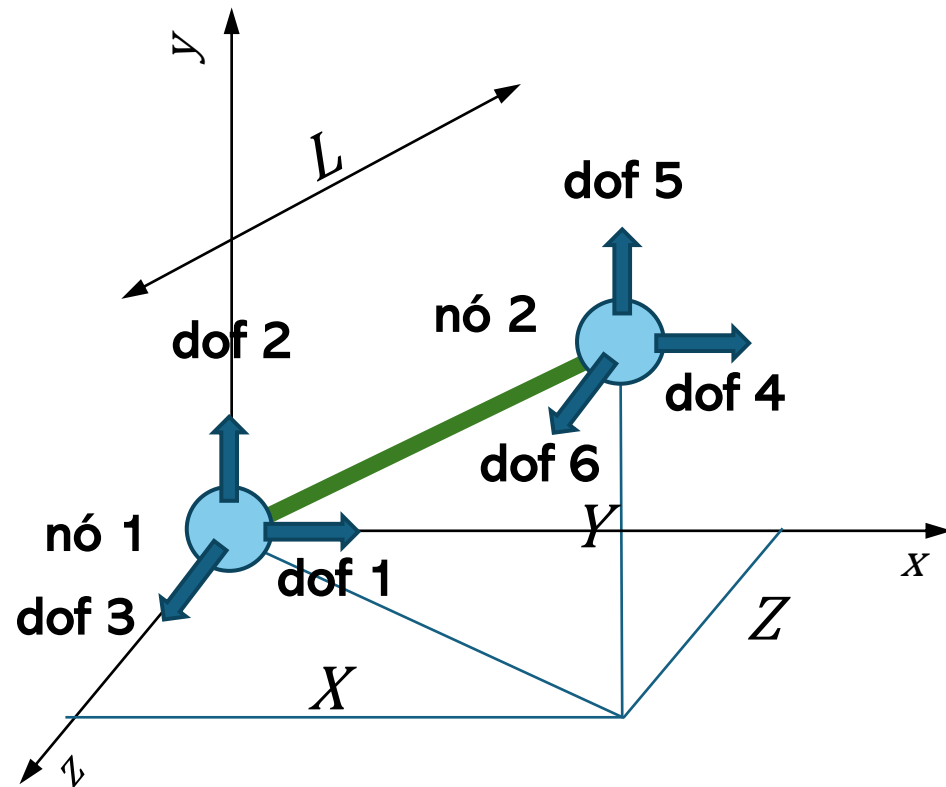


modo: 11 @ [ 1226.0 Hz ]



11 modos  
ndof=14  
3 dofs restritos

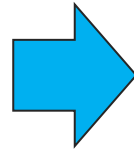
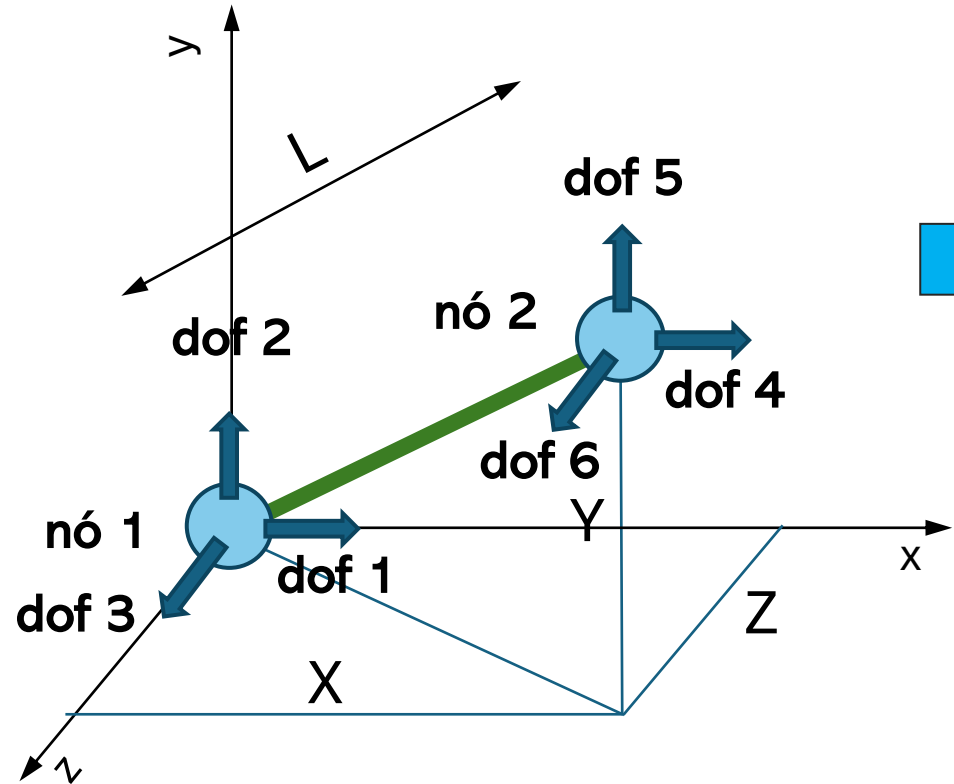
# Formulação de elemento: Barra3D/Treliça (6dof)



$$c_x = \frac{X}{L} \quad c_y = \frac{Y}{L} \quad c_z = \frac{Z}{L}$$

$$[K] = \frac{EA}{L} \times \begin{bmatrix} c_x^2 & c_y c_x & c_z c_x & -c_x^2 & -c_y c_x & -c_z c_x \\ c_x c_y & c_y^2 & c_z c_y & -c_x c_y & -c_y^2 & -c_z c_y \\ c_x c_z & c_y c_z & c_z^2 & -c_x c_z & -c_y c_z & -c_z^2 \\ -c_x^2 & -c_y c_x & -c_z c_x & c_x^2 & c_y c_x & c_z c_x \\ -c_x c_y & -c_y^2 & -c_z c_y & c_x c_y & c_y^2 & c_z c_y \\ -c_x c_z & -c_y c_z & -c_z^2 & c_x c_z & c_y c_z & c_z^2 \end{bmatrix}$$

# Formulação de elemento: Barra3D/Treliça (6dof)



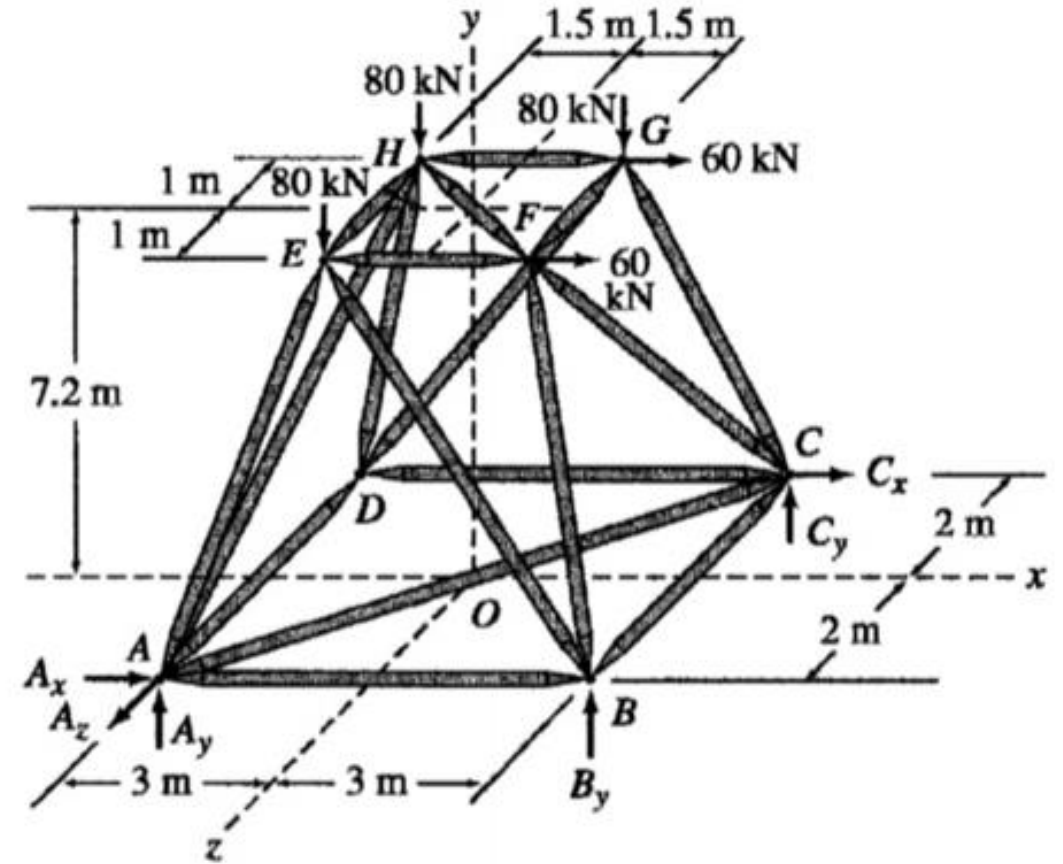
$$c_x = \frac{X}{L} \quad c_y = \frac{Y}{L} \quad c_z = \frac{Z}{L}$$

Força (escalar) desenvolvida no elemento

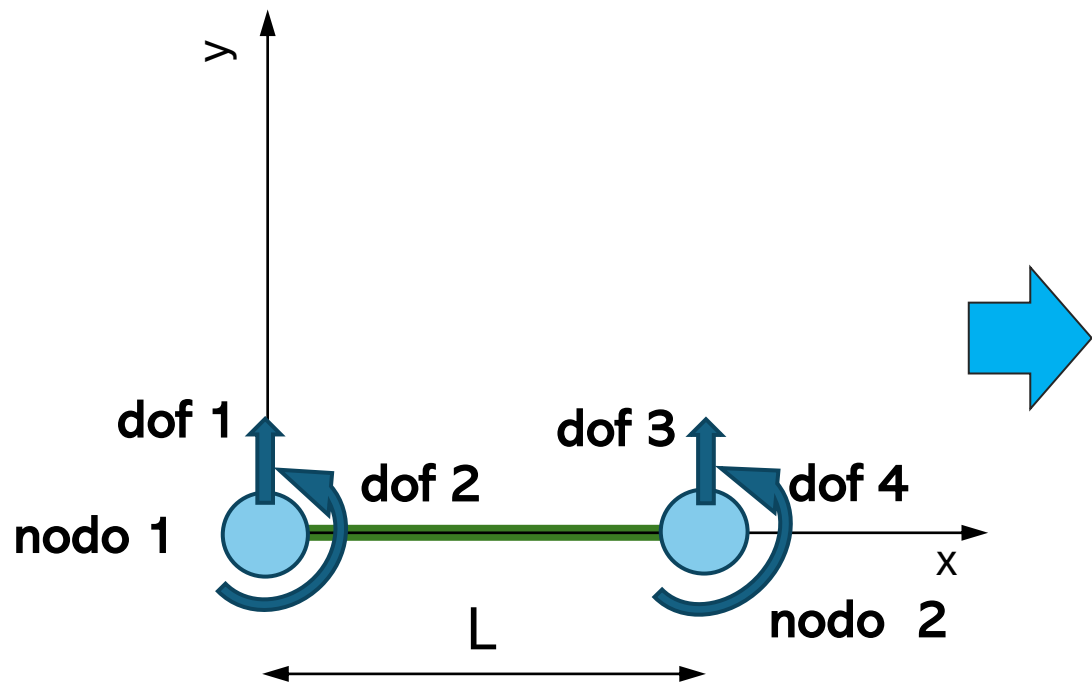
$$f = \frac{EA}{L} [-c_x \quad -c_y \quad -c_z \quad c_x \quad c_y \quad c_z] \{U\}$$

## Formulação de elemento: Barra3D/Treliça (6dof)

$$[M] = \frac{\rho AL}{2} \begin{bmatrix} 1 & 0 & 0 & 0 & 0 & 0 \\ 0 & 1 & 0 & 0 & 0 & 0 \\ 0 & 0 & 1 & 0 & 0 & 0 \\ 0 & 0 & 0 & 1 & 0 & 0 \\ 0 & 0 & 0 & 0 & 1 & 0 \\ 0 & 0 & 0 & 0 & 0 & 1 \end{bmatrix}$$



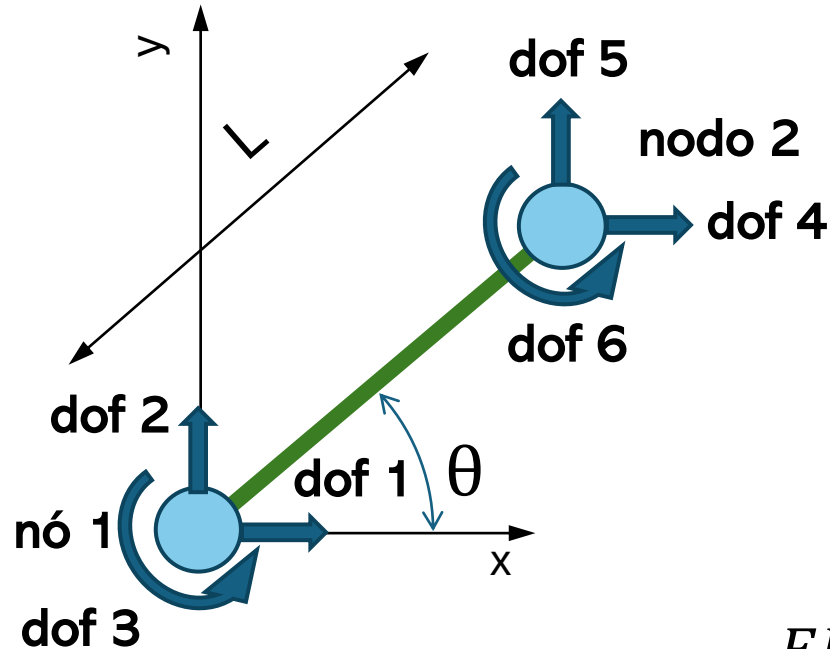
# Formulação de elemento: Viga (4dofs)



$$[K] = \frac{EI}{L^3} \begin{bmatrix} 12 & 6L & -12 & 6L \\ 6L & 4L^2 & -6L & 2L^2 \\ -12 & -6L & 12 & -6L \\ 6L & -2L^2 & -6L & 4L^2 \end{bmatrix}$$

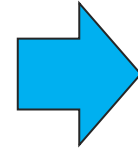


# Formulação de elemento: Viga+Barra (6dofs)



$$c = \cos(\theta)$$

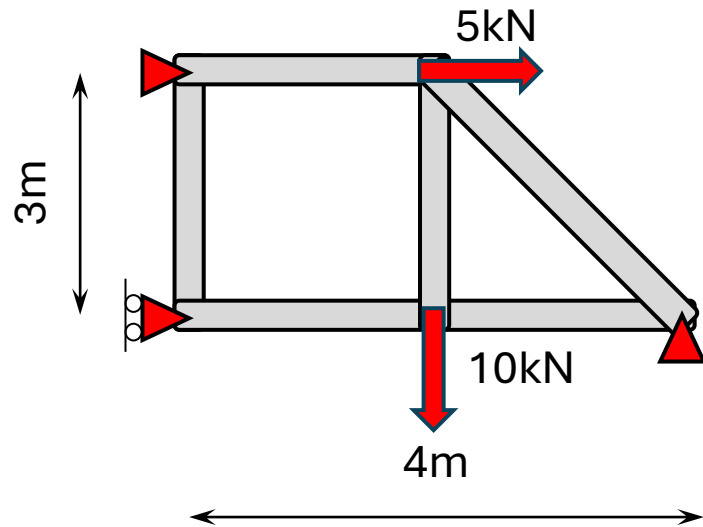
$$s = \sin(\theta)$$



$$[K] = \frac{EA}{L} \begin{bmatrix} c^2 & cs & 0 & -c^2 & -cs & 0 \\ cs & s^2 & 0 & -cs & -s^2 & 0 \\ 0 & 0 & 0 & 0 & 0 & 0 \\ -c^2 & -cs & 0 & c^2 & cs & 0 \\ -cs & -s^2 & 0 & cs & s^2 & 0 \\ 0 & 0 & 0 & 0 & 0 & 0 \end{bmatrix}$$

$$+ \frac{EI}{L^3} \begin{bmatrix} 12s^2 & -12cs & -6Ls & -12s^2 & 12cs & -6Ls \\ -12cs & 12c^2 & 6Lc & 12cs & -12c^2 & 6Lc \\ -6Ls & 6Lc & 4L^2 & 6Ls & -6Lc & 2L^2 \\ -12s^2 & 12cs & 6Ls & 12s^2 & -12cs & 6Ls \\ 12cs & -12c^2 & -6Lc & -12cs & 12c^2 & -6Lc \\ -6Ls & 6Lc & -2L^2 & 6Ls & -6Lc & 4L^2 \end{bmatrix}$$

# Exercícios – viga-barra 2D

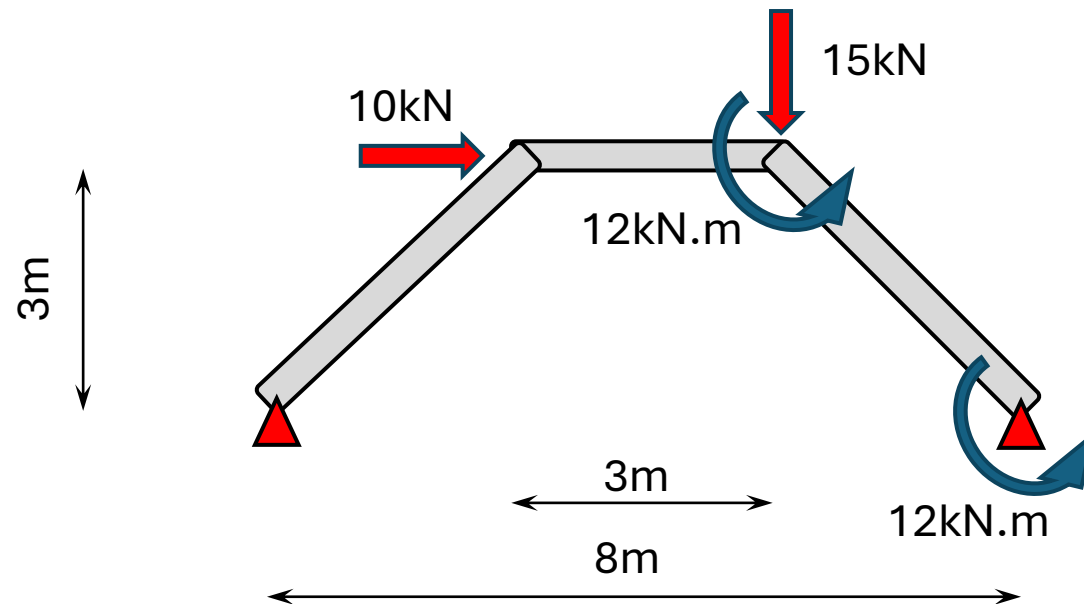


Secção circular de diâmetro 60mm

$$I = \frac{\pi R^4}{4}$$

$$E = 200 \text{ GPa}$$

# Exercícios – viga-barra 2D

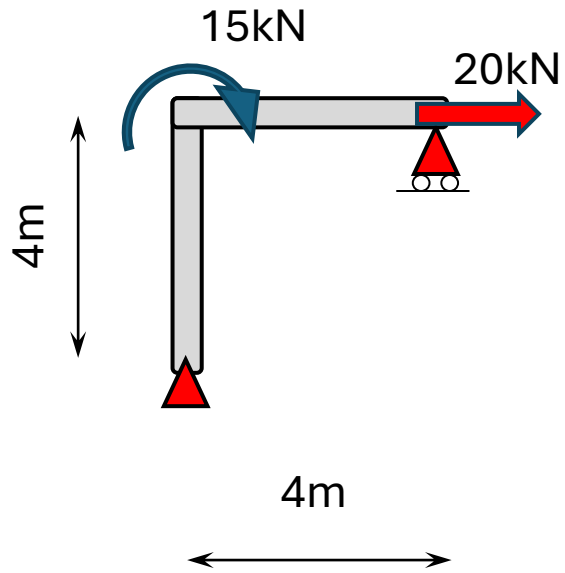


Secção tubular circular de diâmetro 60mm e espessura 5mm

$$I = \frac{\pi R^4}{4}$$

$$E = 210 \text{ GPa}$$

# Exercícios – viga-barra 2D

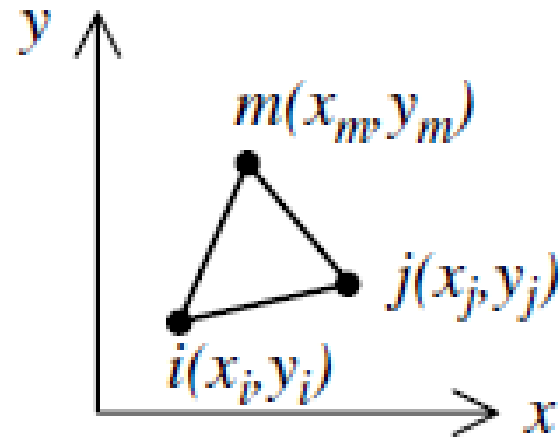


Secção retangular 40x50x5 mm

$$I_{\text{rect}} = bh^3/12$$

$$E = 210 \text{ GPa}$$

# Elemento plano triangular



$$2A = x_i(y_j - y_m) + x_j(y_m - y_i) + x_m(y_i - y_j)$$

$$[B] = \frac{1}{2A} \begin{bmatrix} \beta_i & 0 & \beta_j & 0 & \beta_m & 0 \\ 0 & \gamma_i & 0 & \gamma_j & 0 & \gamma_m \\ \gamma_i & \beta_i & \gamma_j & \beta_j & \gamma_m & \beta_m \end{bmatrix}$$

$$\beta_i = y_j - y_m$$

$$\beta_j = y_m - y_i$$

$$\beta_m = y_i - y_j$$

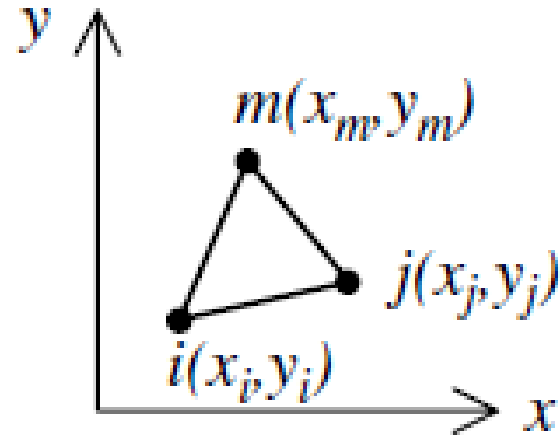
$$\gamma_i = x_m - x_j$$

$$\gamma_j = x_i - x_m$$

$$\gamma_m = x_j - x_i$$

$$[k] = tA[B]^T [D][B]$$

# Elemento plano triangular



## - domínio de cálculo 2D

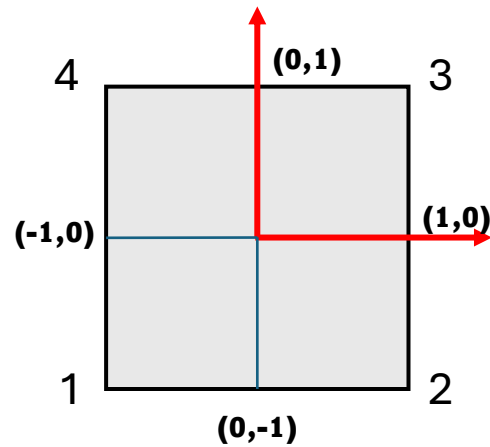
Estado plano de tensão

$$[D] = \frac{E}{1 - \nu^2} \begin{bmatrix} 1 & \nu & 0 \\ \nu & 1 & 0 \\ 0 & 0 & \frac{1 - \nu}{2} \end{bmatrix}$$

Estado plano de deformação

$$[D] = \frac{E}{(1 + \nu)(1 - 2\nu)} \begin{bmatrix} 1 - \nu & \nu & 0 \\ \nu & 1 - \nu & 0 \\ 0 & 0 & \frac{1 - 2\nu}{2} \end{bmatrix}$$

# Elemento plano quadrilátero



$$\begin{Bmatrix} u(x, y) \\ v(x, y) \end{Bmatrix} = N_i(x, y) \begin{Bmatrix} u_i \\ v_i \end{Bmatrix}$$

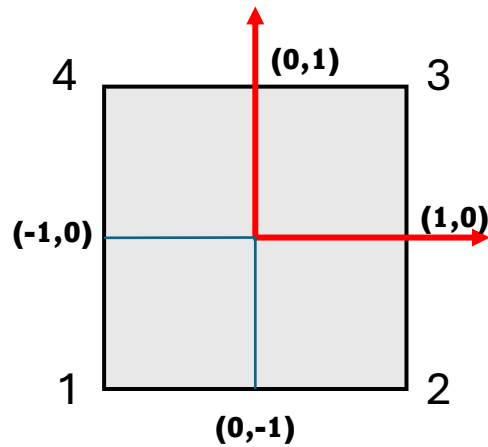
**Campo de deslocamentos**

$$N_i(x, y) = \frac{1}{4} (1 + a_i x)(1 + b_i y)$$

$N_1$	-1	-1
$N_2$	1	-1
$N_3$	1	1
$N_4$	-1	1

**Funções  
interpoladoras (de  
forma)**

# Elemento plano quadrilátero



**Campo de deslocamentos**

$$\begin{Bmatrix} u(x, y) \\ v(x, y) \end{Bmatrix} = N_i(x, y) \begin{Bmatrix} u_i \\ v_i \end{Bmatrix}$$

**Campo de deformações**

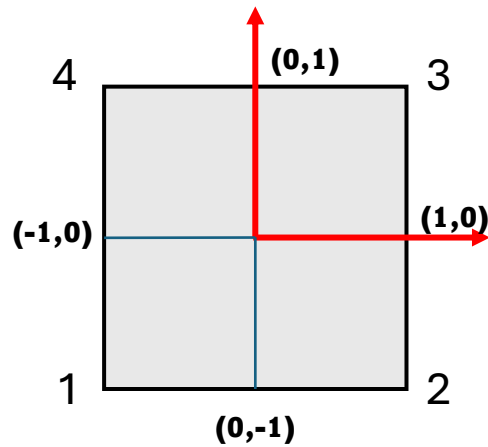
$$\{\varepsilon\} = [B] \begin{Bmatrix} u(x, y) \\ v(x, y) \end{Bmatrix}$$

**Matriz de deformações**

$$[B] = \begin{bmatrix} \frac{\delta}{\delta x} & 0 \\ 0 & \frac{\delta}{\delta y} \\ \frac{\delta}{\delta y} & \frac{\delta}{\delta x} \end{bmatrix}$$



# Elemento plano quadrilátero

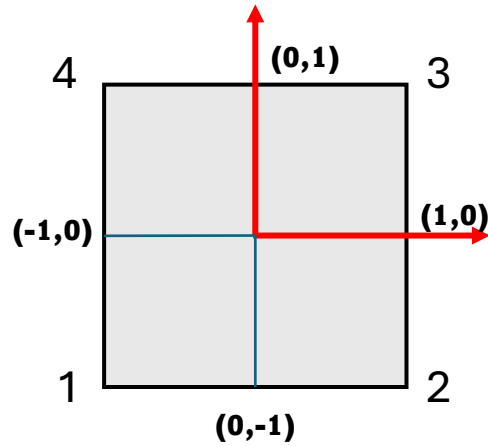


$$\begin{Bmatrix} u(x, y) \\ v(x, y) \end{Bmatrix} = N_i(x, y) \begin{Bmatrix} u_i \\ v_i \end{Bmatrix}$$

$$\{\varepsilon\} = [B] \begin{Bmatrix} u(x, y) \\ v(x, y) \end{Bmatrix} = [B] N_i(x, y) \begin{Bmatrix} u_i \\ v_i \end{Bmatrix} = [B(x, y)] \begin{Bmatrix} u_i \\ v_i \end{Bmatrix}$$

$$[B] = \begin{bmatrix} \frac{\delta}{\delta x} & 0 \\ 0 & \frac{\delta}{\delta y} \\ \frac{\delta}{\delta y} & \frac{\delta}{\delta x} \end{bmatrix} \Rightarrow [B(x, y)] = \begin{bmatrix} \frac{\delta N_1(x, y)}{\delta x} & 0 & \frac{\delta N_2(x, y)}{\delta x} & 0 & \frac{\delta N_3(x, y)}{\delta x} & 0 & \frac{\delta N_4(x, y)}{\delta x} & 0 \\ 0 & \frac{\delta N_1(x, y)}{\delta y} & 0 & \frac{\delta N_2(x, y)}{\delta y} & 0 & \frac{\delta N_3(x, y)}{\delta y} & 0 & \frac{\delta N_4(x, y)}{\delta y} \\ \frac{\delta N_1(x, y)}{\delta y} & \frac{\delta N_1(x, y)}{\delta x} & \frac{\delta N_2(x, y)}{\delta y} & \frac{\delta N_2(x, y)}{\delta x} & \frac{\delta N_3(x, y)}{\delta y} & \frac{\delta N_3(x, y)}{\delta x} & \frac{\delta N_4(x, y)}{\delta y} & \frac{\delta N_4(x, y)}{\delta x} \end{bmatrix}$$

# Elemento plano quadrilátero



## Matriz de Rigidez

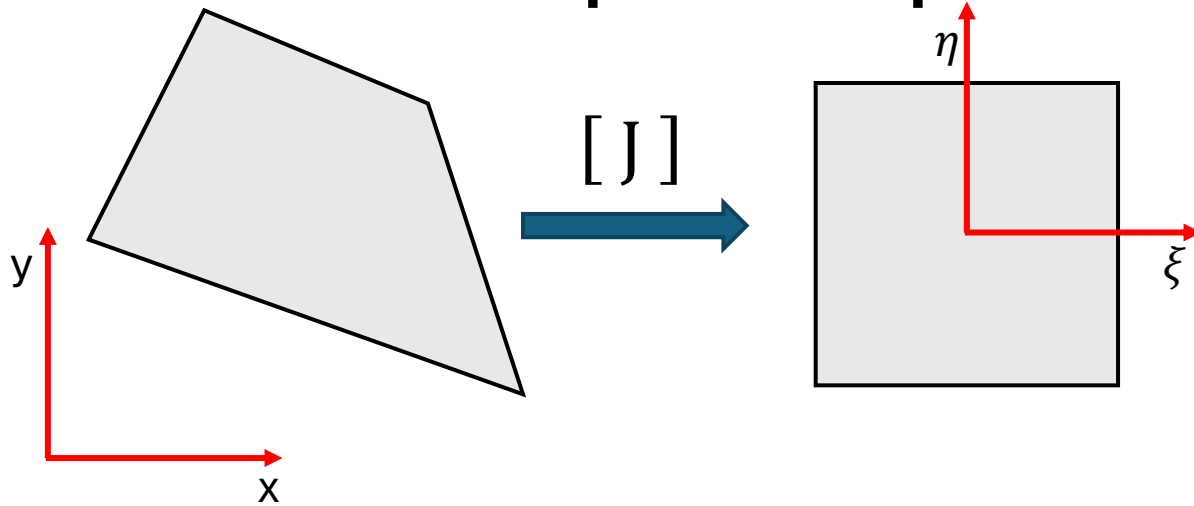
$$[K]_e = \int_A [B(x, y)]^T [D] [B(x, y)] dA$$

## Integração numérica

$$[K]_e = \sum_{g=1}^{ng} w_p(g) [B(x_g, y_g)]^T [D] [B(x_g, y_g)]$$

4 pontos de gauss:  $w_p = 1$  e  $(x_g, y_g) = (\pm 1/\sqrt{3}, \pm 1/\sqrt{3})$

# Elemento plano quadrilátero



**Jacobiano da transformação**

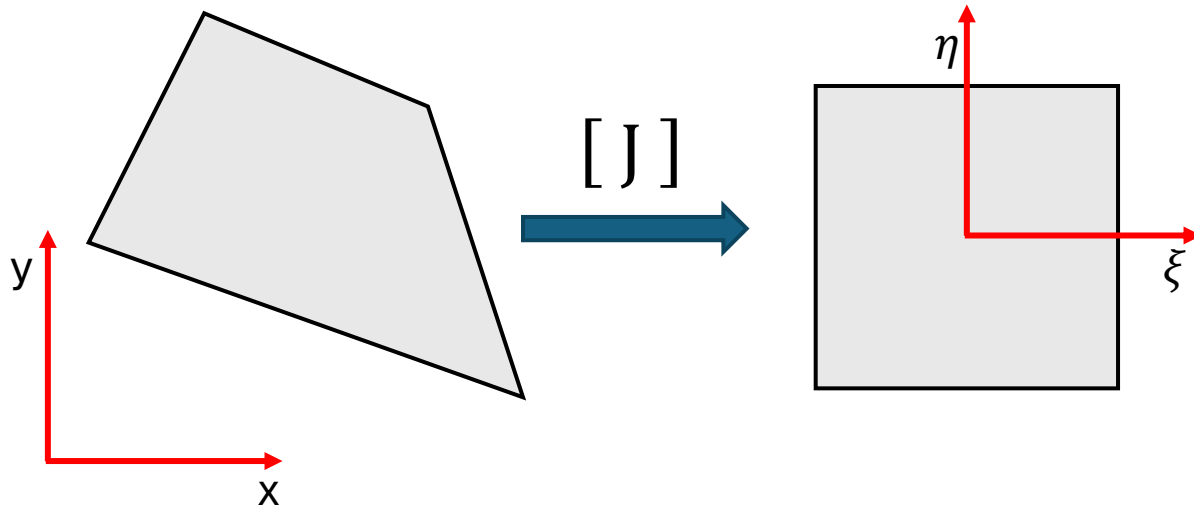
$$[J] = \begin{bmatrix} \frac{\partial x}{\partial \xi} & \frac{\partial y}{\partial \xi} \\ \frac{\partial x}{\partial \eta} & \frac{\partial y}{\partial \eta} \end{bmatrix}$$

$$x(\xi, \eta) = [N(\xi, \eta)]\{x_i\}$$

$$y(\xi, \eta) = [N(\xi, \eta)]\{y_i\}$$

$$[J] = \begin{bmatrix} \frac{\delta[N(\xi, \eta)]\{x_i\}}{\delta \xi} & \frac{\delta[N(\xi, \eta)]\{y_i\}}{\delta \xi} \\ \frac{\delta[N(\xi, \eta)]\{x_i\}}{\delta \eta} & \frac{\delta[N(\xi, \eta)]\{y_i\}}{\delta \eta} \end{bmatrix}$$

# Elemento plano quadrilátero



**Jacobiano da transformação**

$$[J] = \begin{bmatrix} \frac{\delta x}{\delta \xi} & \frac{\delta y}{\delta \xi} \\ \frac{\delta x}{\delta \eta} & \frac{\delta y}{\delta \eta} \end{bmatrix}$$

**Matriz de deformações**

$$[B] = \begin{bmatrix} \frac{\delta}{\delta x} & 0 \\ 0 & \frac{\delta}{\delta y} \\ \frac{\delta}{\delta y} & \frac{\delta}{\delta x} \end{bmatrix}$$

$$\begin{Bmatrix} \frac{\delta N_i}{\delta x} \\ \frac{\delta N_i}{\delta y} \end{Bmatrix} = \begin{bmatrix} \frac{\delta \xi}{\delta x} & \frac{\delta \eta}{\delta x} \\ \frac{\delta \xi}{\delta y} & \frac{\delta \eta}{\delta y} \end{bmatrix} \begin{Bmatrix} \frac{\delta N_i}{\delta \xi} \\ \frac{\delta N_i}{\delta \eta} \end{Bmatrix} = [J]^{-1} \begin{Bmatrix} \frac{\delta N_i}{\delta \xi} \\ \frac{\delta N_i}{\delta \eta} \end{Bmatrix}$$

# Acesso FEMAP instalação

- [https://uapt33090-my.sharepoint.com/:f:/g/personal/rmoreira\\_ua\\_pt/El\\_fWsnVrqRBtQl5Ab-APtcB44diAamR8dGo-oTvcNT0lQ?e=odpKPE](https://uapt33090-my.sharepoint.com/:f:/g/personal/rmoreira_ua_pt/El_fWsnVrqRBtQl5Ab-APtcB44diAamR8dGo-oTvcNT0lQ?e=odpKPE)
- Instalar como network client
- [27001@lic-femap.ua.pt](mailto:27001@lic-femap.ua.pt)